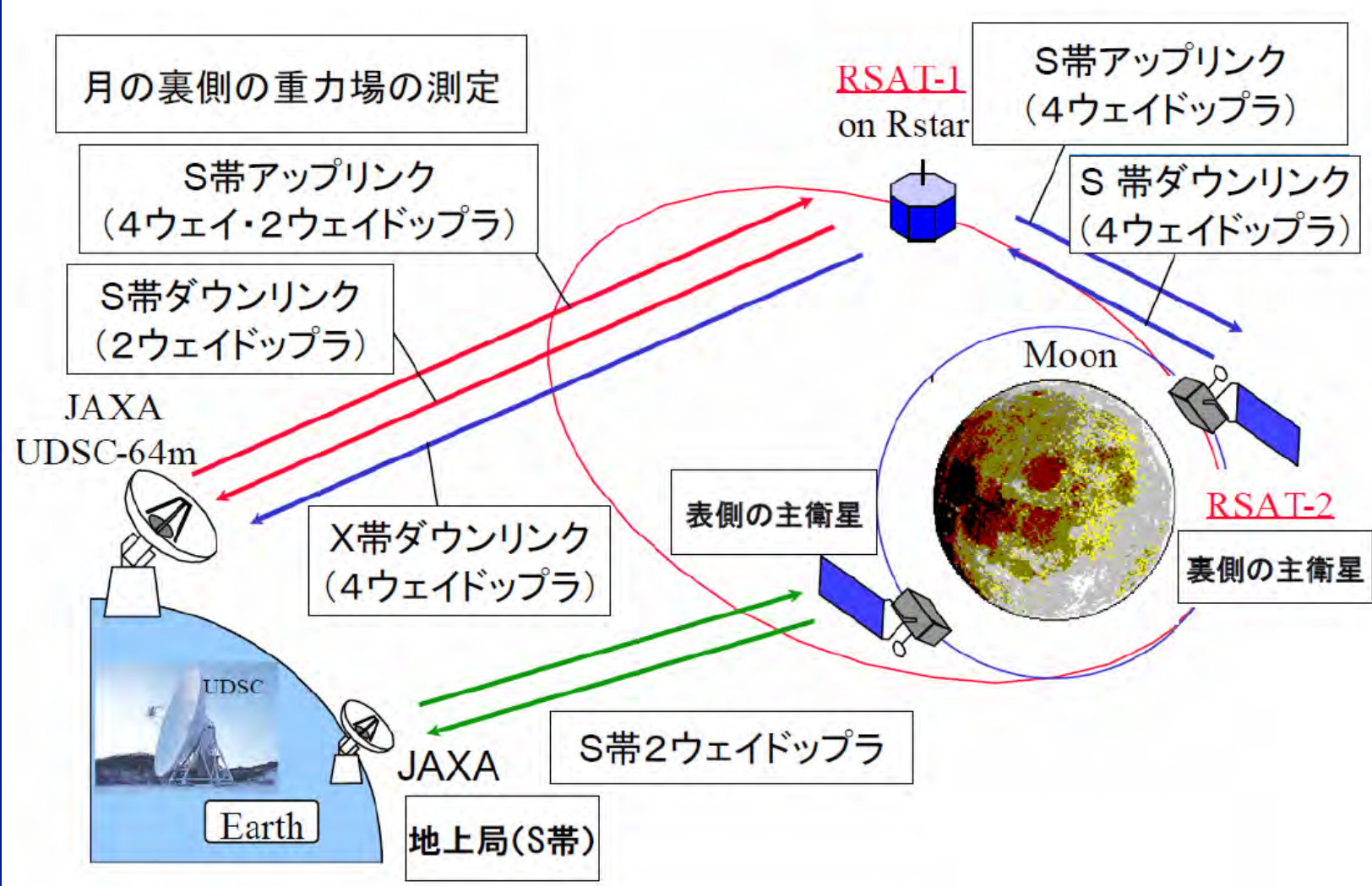
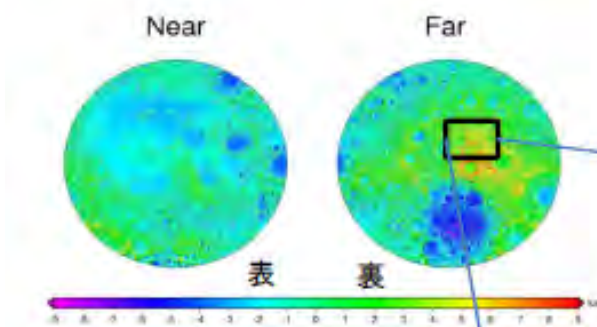


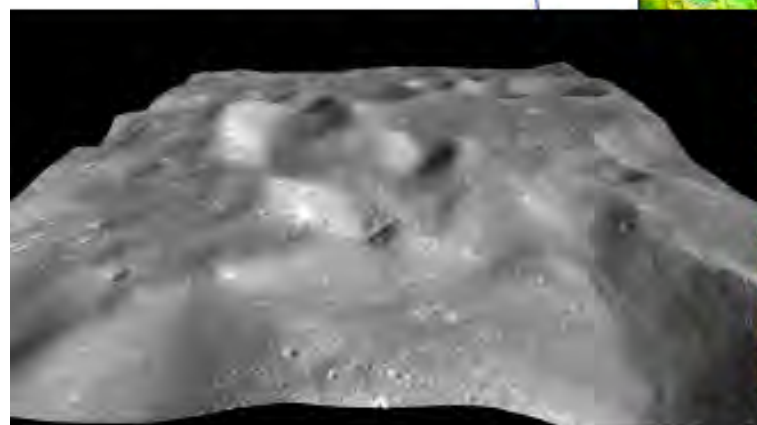


4-ウェイ ドップラー計測 裏側の重力場計測

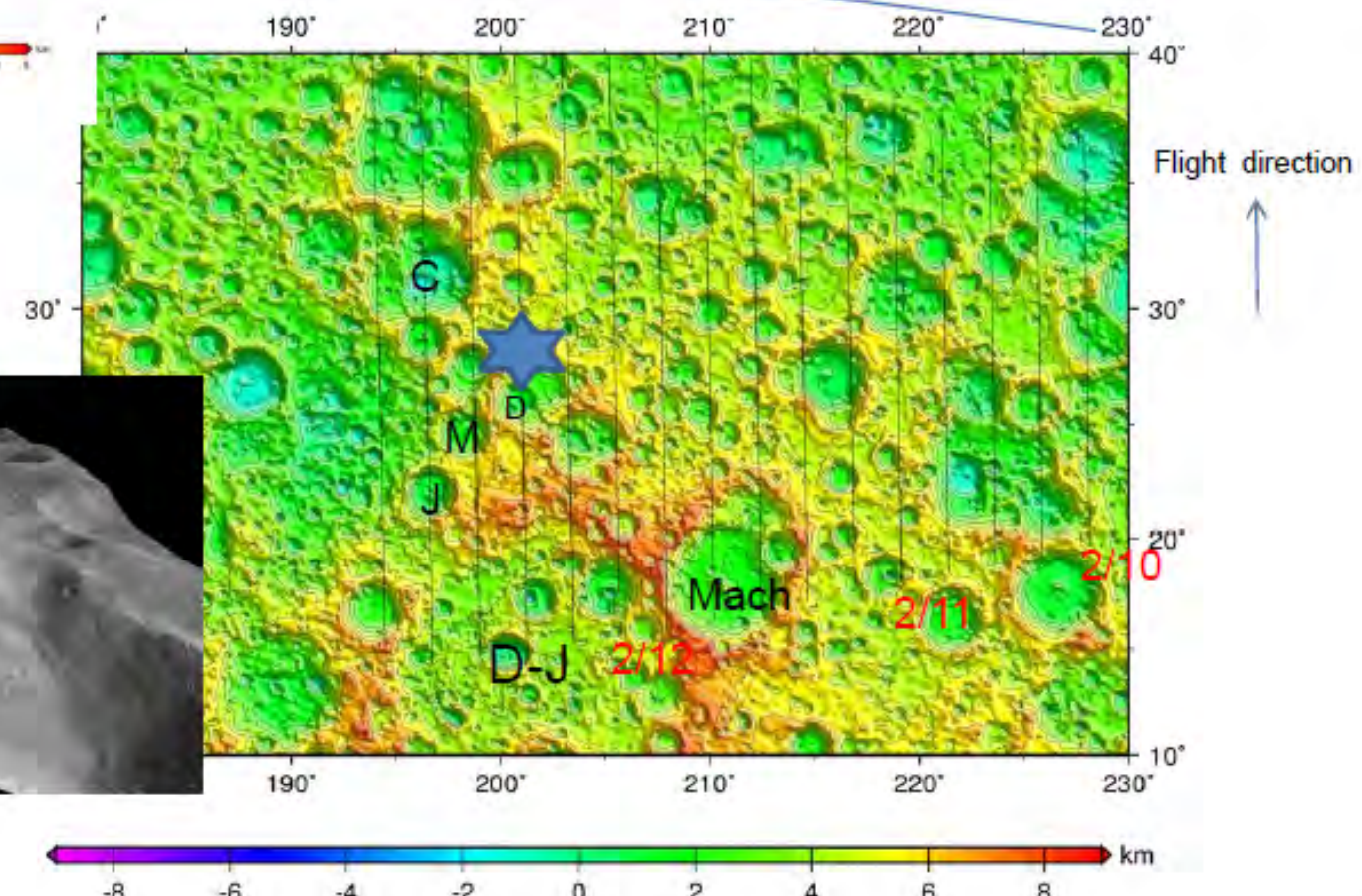




Rstar Okina crash
In lunar farside,
February 12, 2009.



Orbits of relay satellite Okina for Feb. 10 and 20 with altitude lower than 20 km



C = Cockcroft

J = Jackson

M = Mineur

D = Mineur D

D-J = Dirichlet-Jackson盆地

F-S = Freundlich-Sharonov盆地

★: Estimated impact point of Okina, North of Mineur D crater
(200.97E/28.21N)

Estimated impact time: Feb. 12, 2009. 10:46:13 UT

©JAXA/SELENE NAOJ



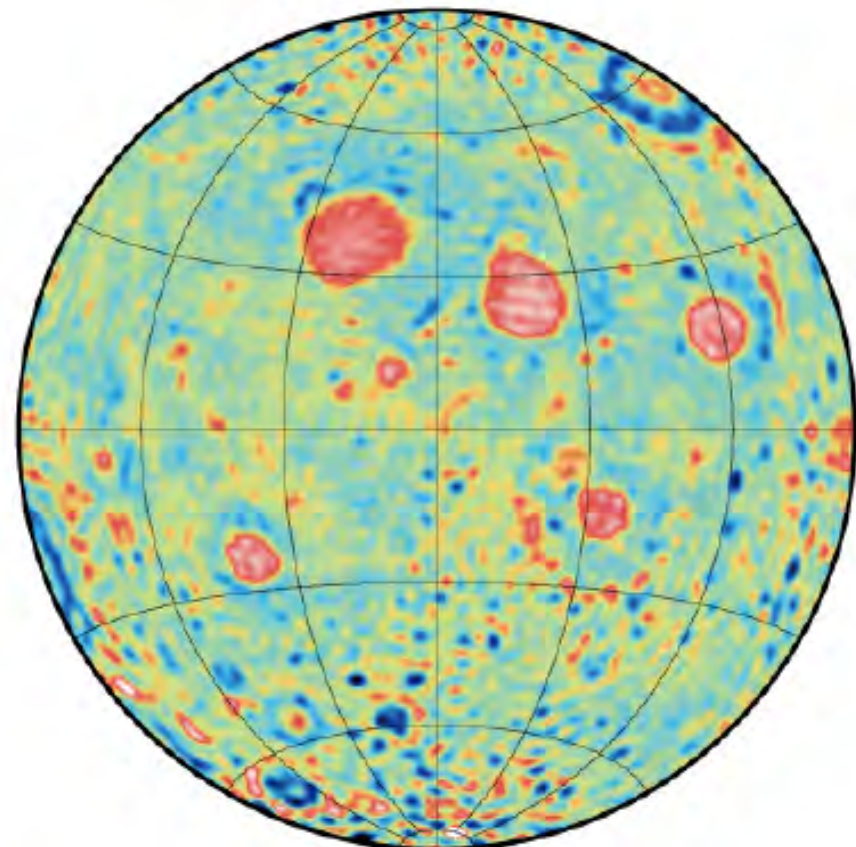
New Gravity Model, Resources

	Satellite	Data type	Amount	Arc length	Data weight
Far side	SELENE 4-way	Doppler	66,968	2.33 days	1 mm/s
	SELENE Main	Doppler UDSC	1,666,446	12 hours	1 mm/s
		Doppler GN			2 mm/s
		Range	60,884		5 m
	SELENE Rstar	Doppler	137,146	2.33 days	1 mm/s
		Range			5 m
	SELENE Vstar	Doppler	42,852	2.4 days	1 mm/s
		Range			5 m
	LO I-V	Doppler	3,861,375	12 hours	4.5 mm/s
		Doppler		8 hours	4.5 mm/s
		Doppler		2 days	3 mm/s (Pomonkey 10 mm/s)
Near side	A15/16ss	Range			4 m
		Doppler		2 days	2 mm/s
	Clementine	Range			4 m
		Doppler		15 hours	10 mm/s
	SMART-1	Doppler			35

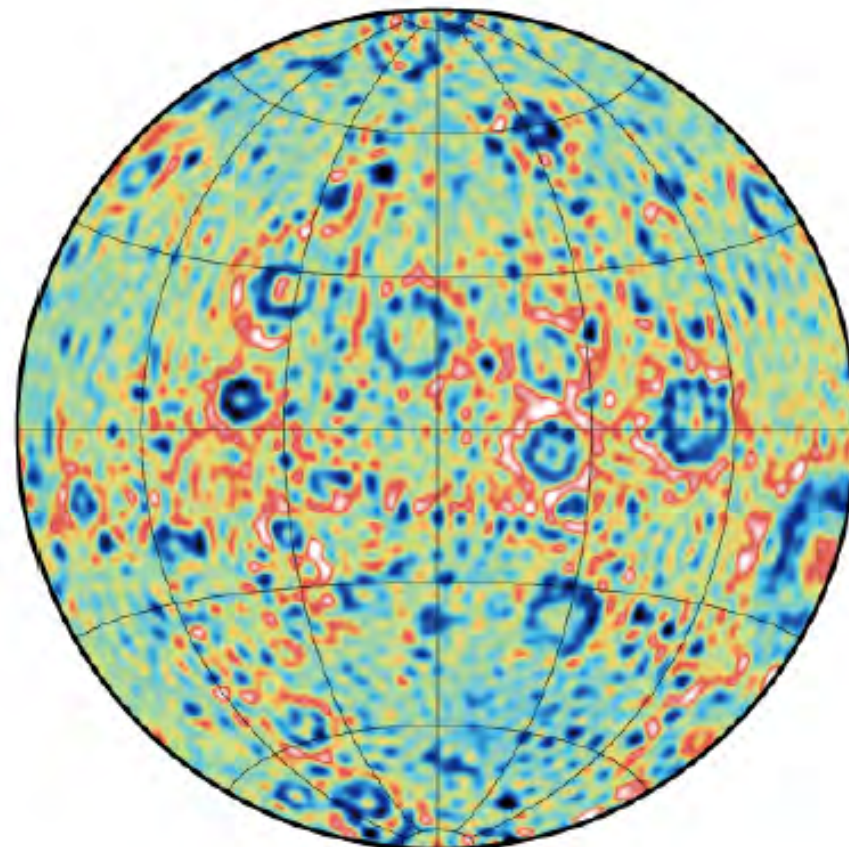


Gravity Model Version Up, SGM100h

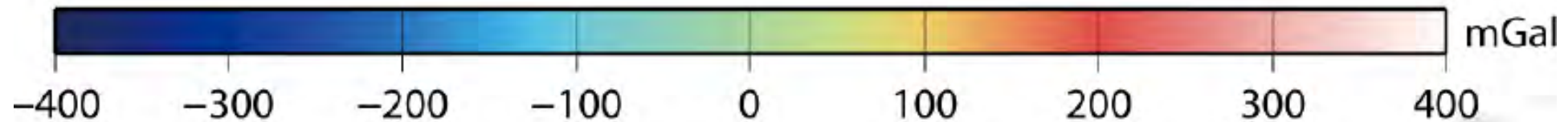
SGM100h nearside



SGM100h farside



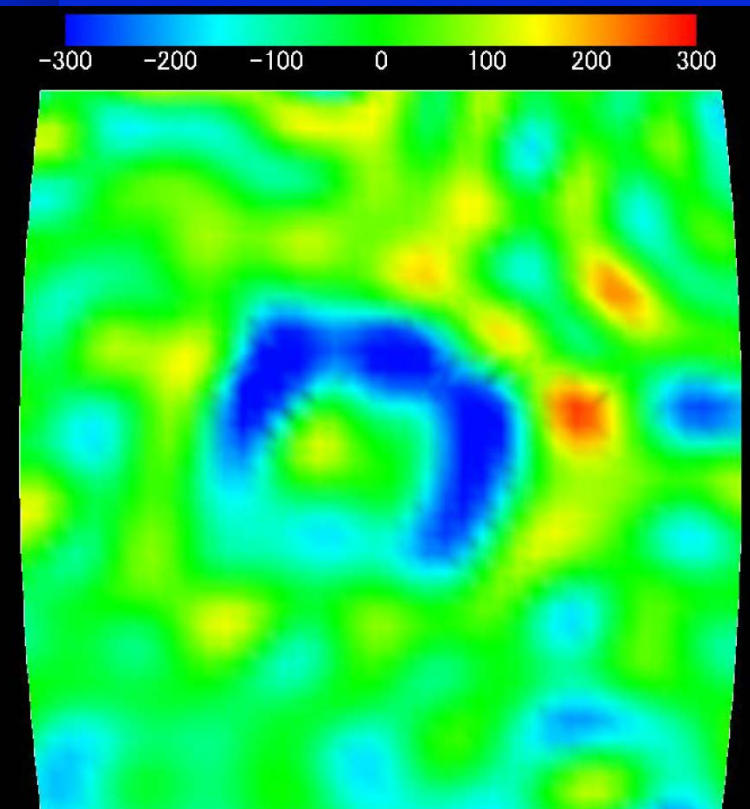
Matsumoto et al., JGR115 (2010)



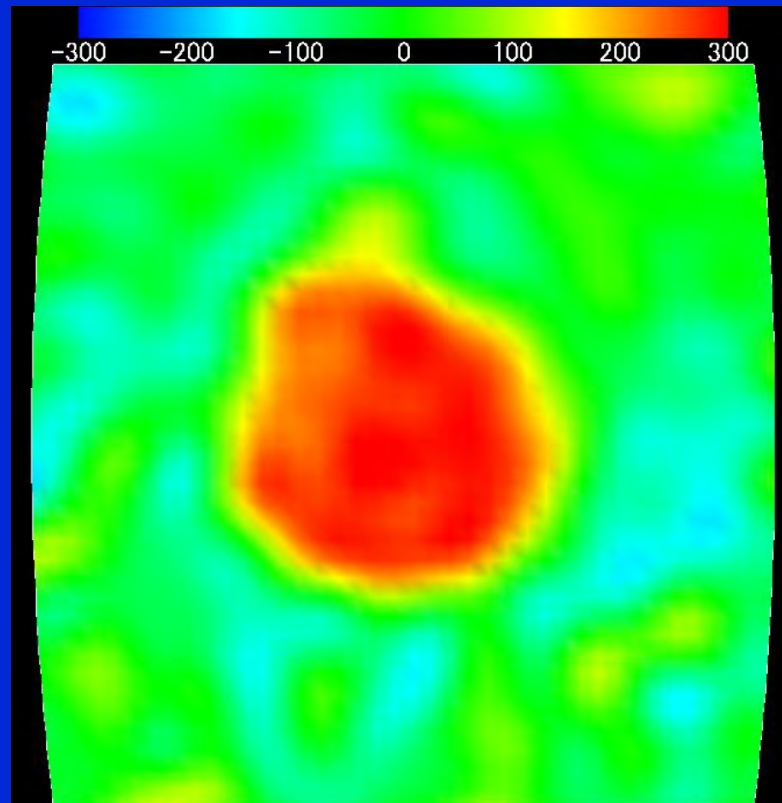


Lenological and ENgineering Explorer

表側と裏側の重力異常の比較

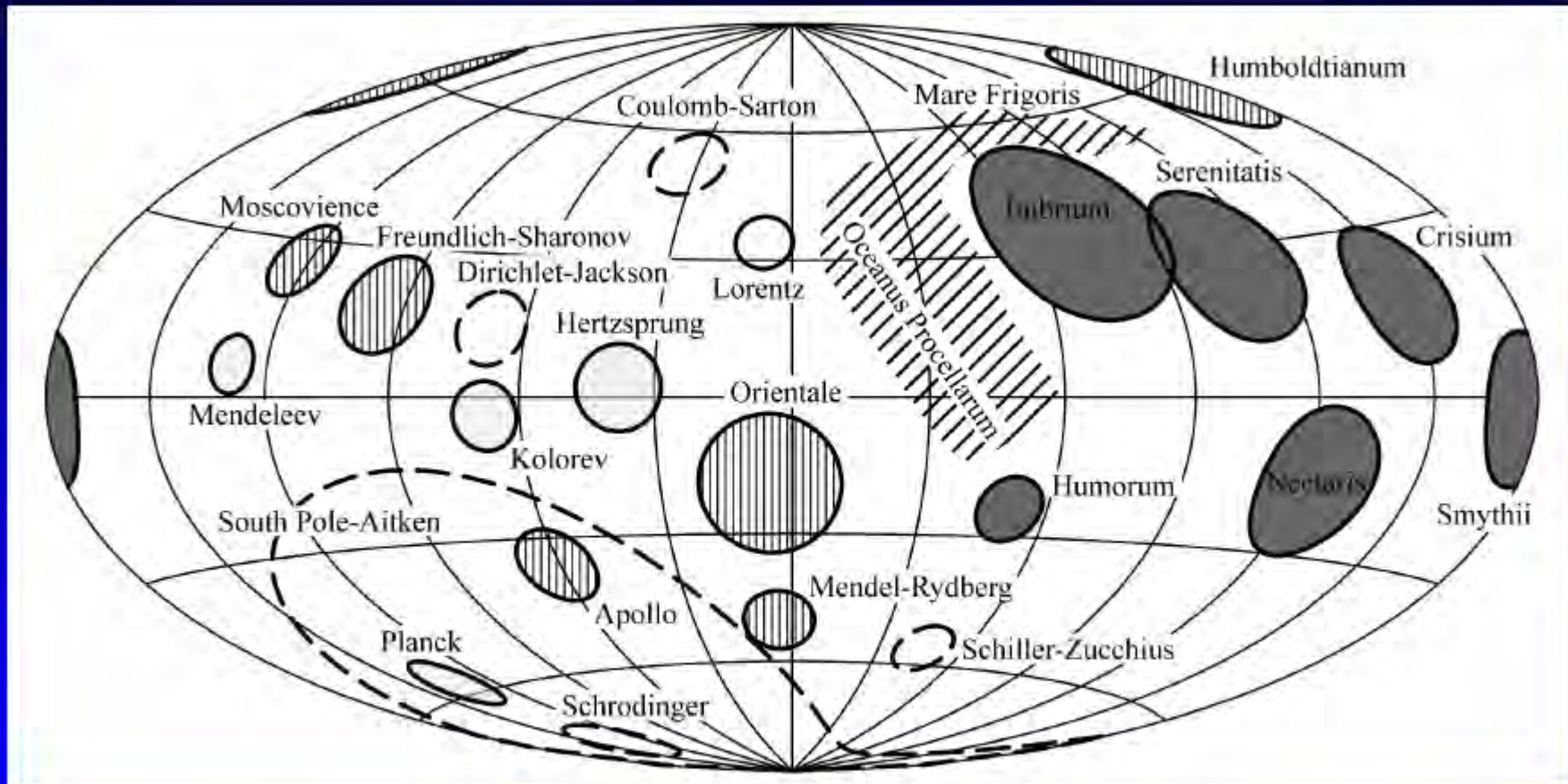


アポロクレータ
36.1S/151.8W、直径537.0 km



静かの海
28.0N/17.5E、直径707.0 km

Distribution of major lunar basins

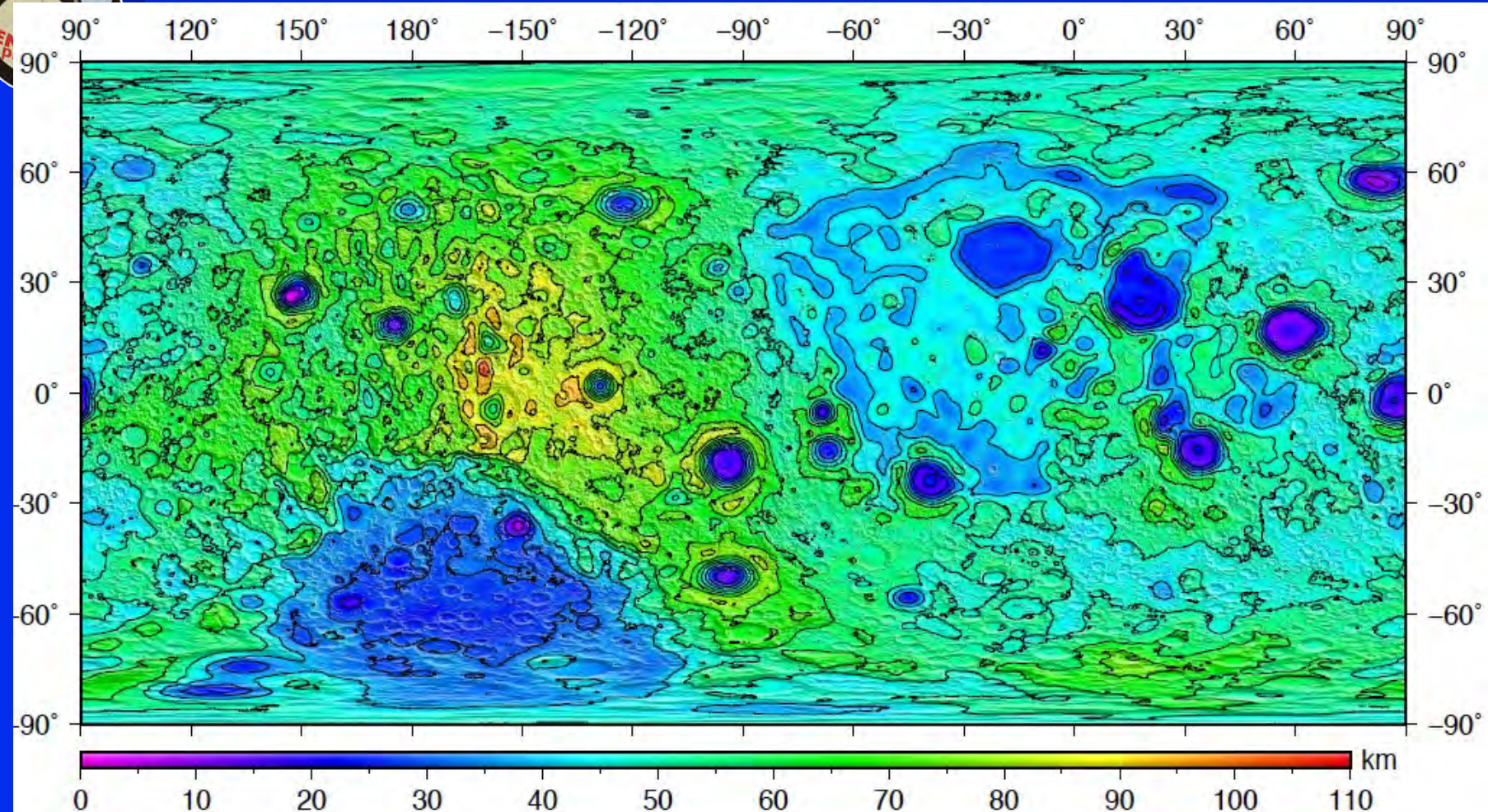


Shaded = primary mascon basins, Lightly shaded = Type I basins
Hatched = Type II basins, Dashed = unclassified.



地殻の厚み

Ishihara et al., 2009, GRL 36, L19202



SELENE

最大: 110km、ディリクレジャクソン クレータの南縁
(199.719E, 6.90625N)

最小: 0 km モスクワの海の下

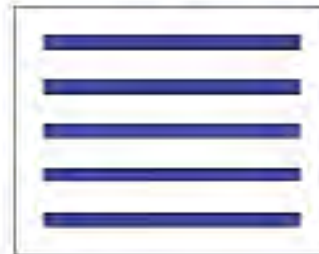
地殻の密度: 2800 kg/m^3 、マントルの密度: 3360 kg/m^3 、玄武岩の密度: 3200 kg/m^3 と仮定して算出



マルチバンドイメージヤの特徴

MI-VIS 可視

20m/pixel@100km



- 415 ±10nm
- 750 ± 5nm
- 1000 ±20nm
- 950±15nm
- 900±10nm

MI-NIR: 近赤外

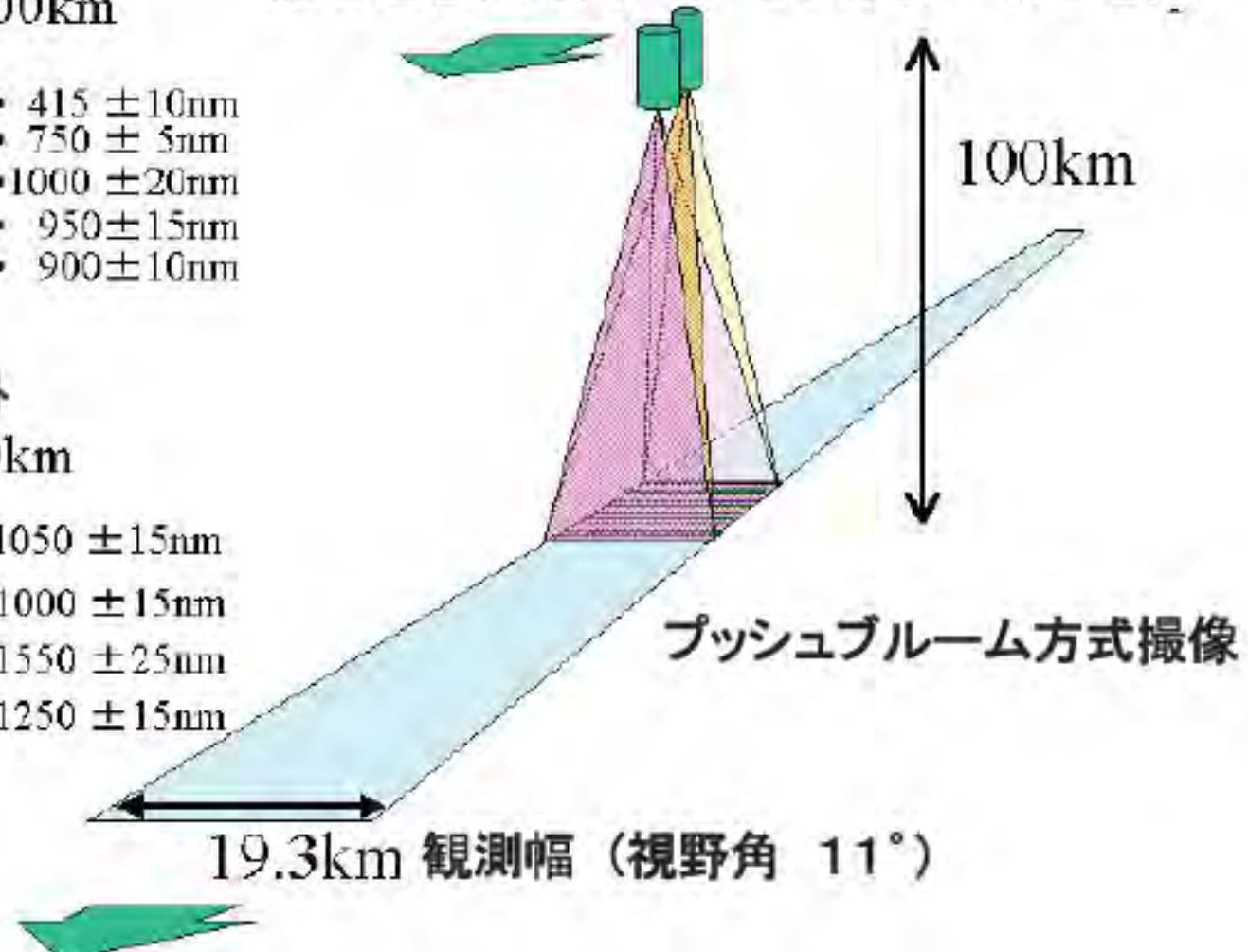
62m/pixel@100km



- 1050 ±15nm
- 1000 ±15nm
- 1550 ±25nm
- 1250 ±15nm

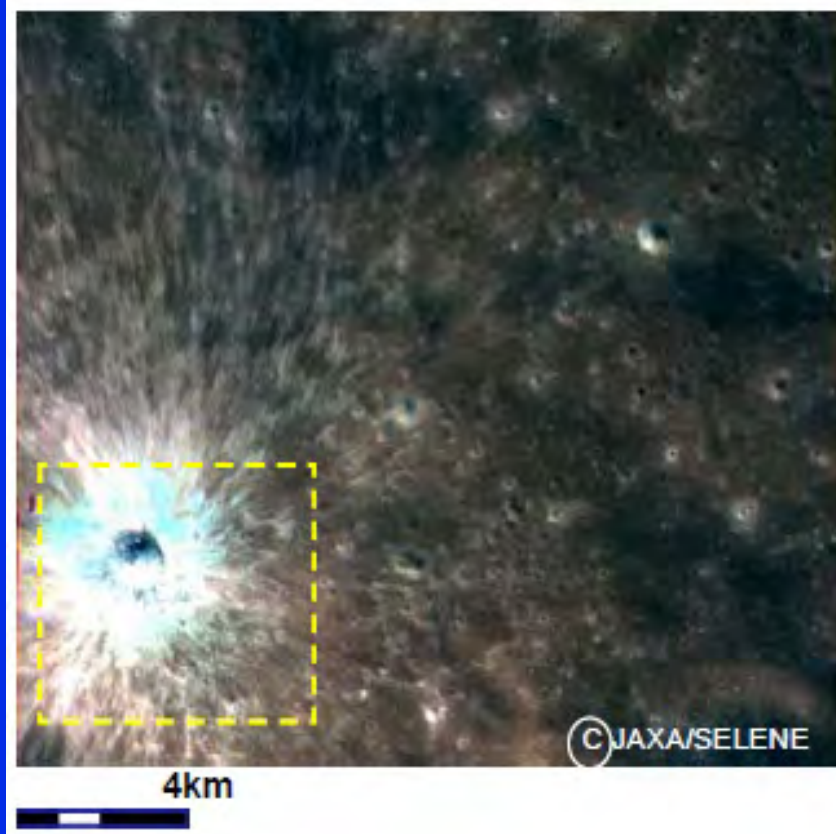
探査機進行方向

2つの直下視望遠鏡





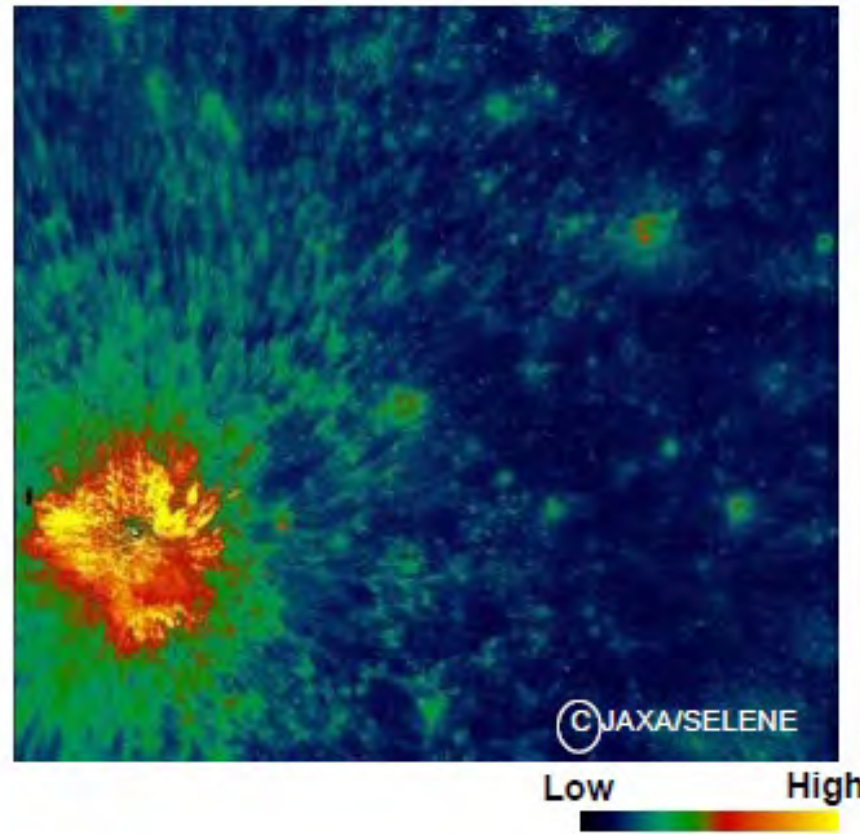
マルチバンドイメージヤの初画像



SELene

900,750,415 nm 撮カラー画像

37N, 240E: オリエンタール盆地1000km東

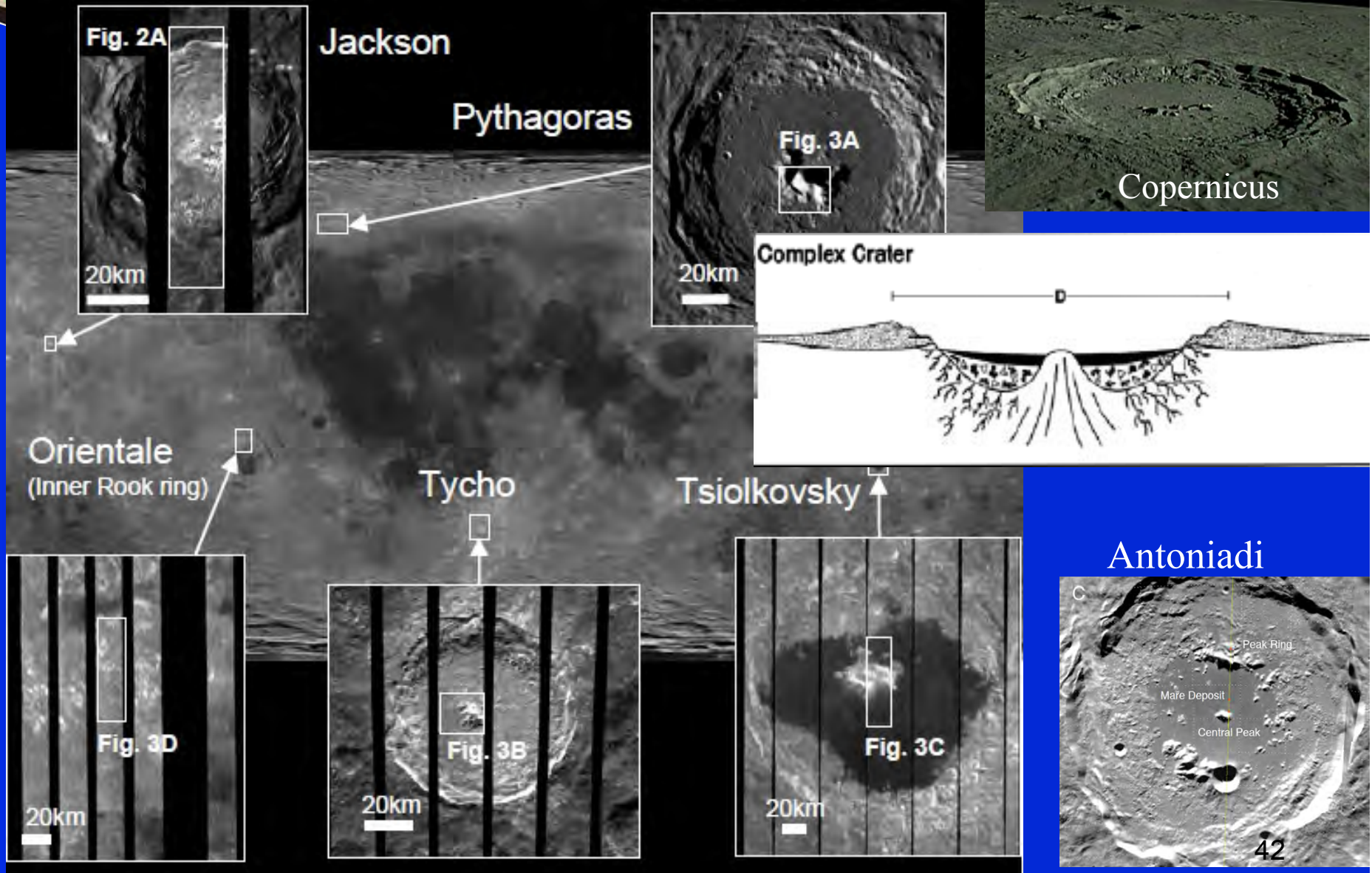


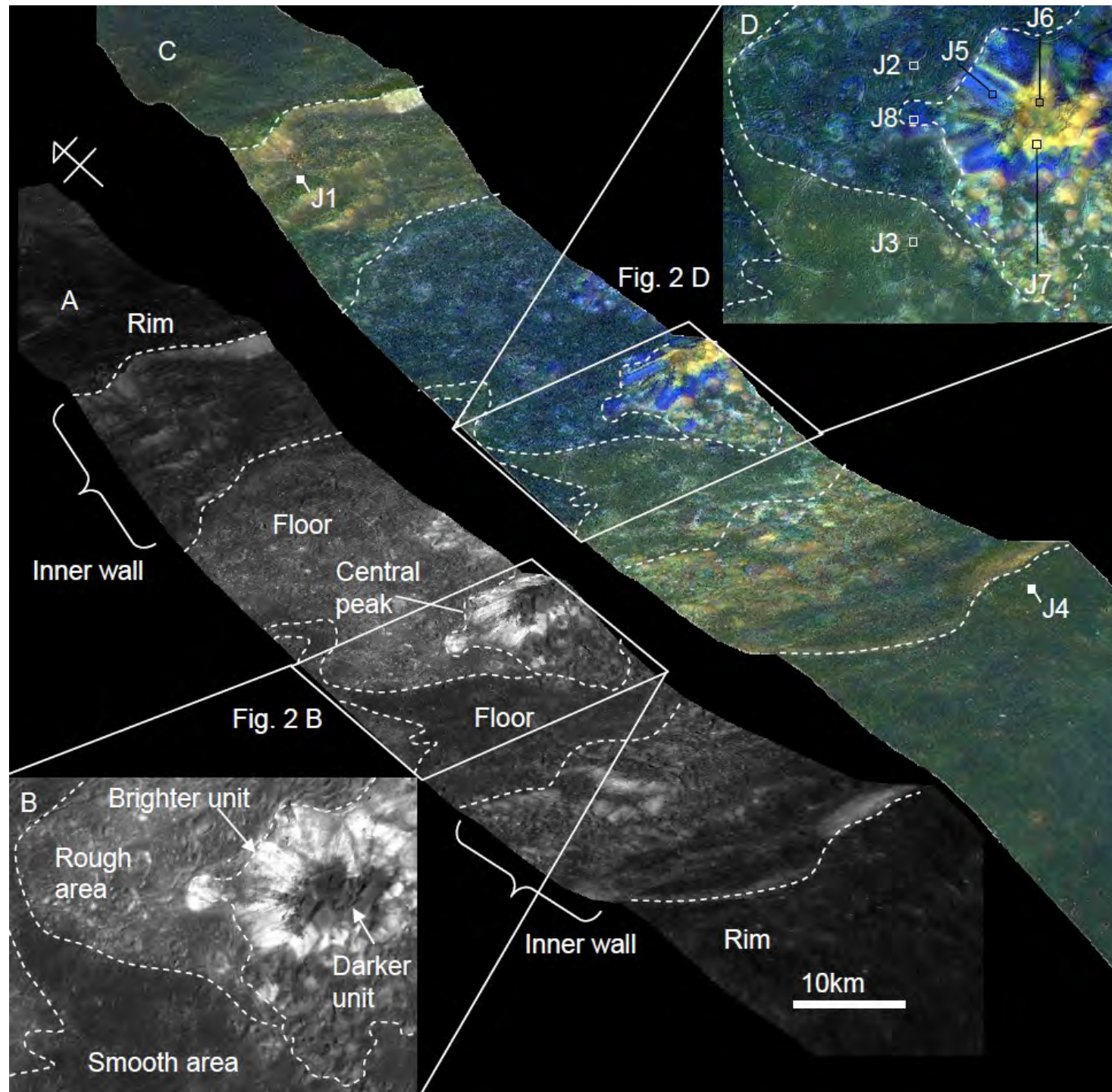
750/1000 nm コンポジット画像

2007.11.41



月内部の“のぞき窓”、クレーター中央丘



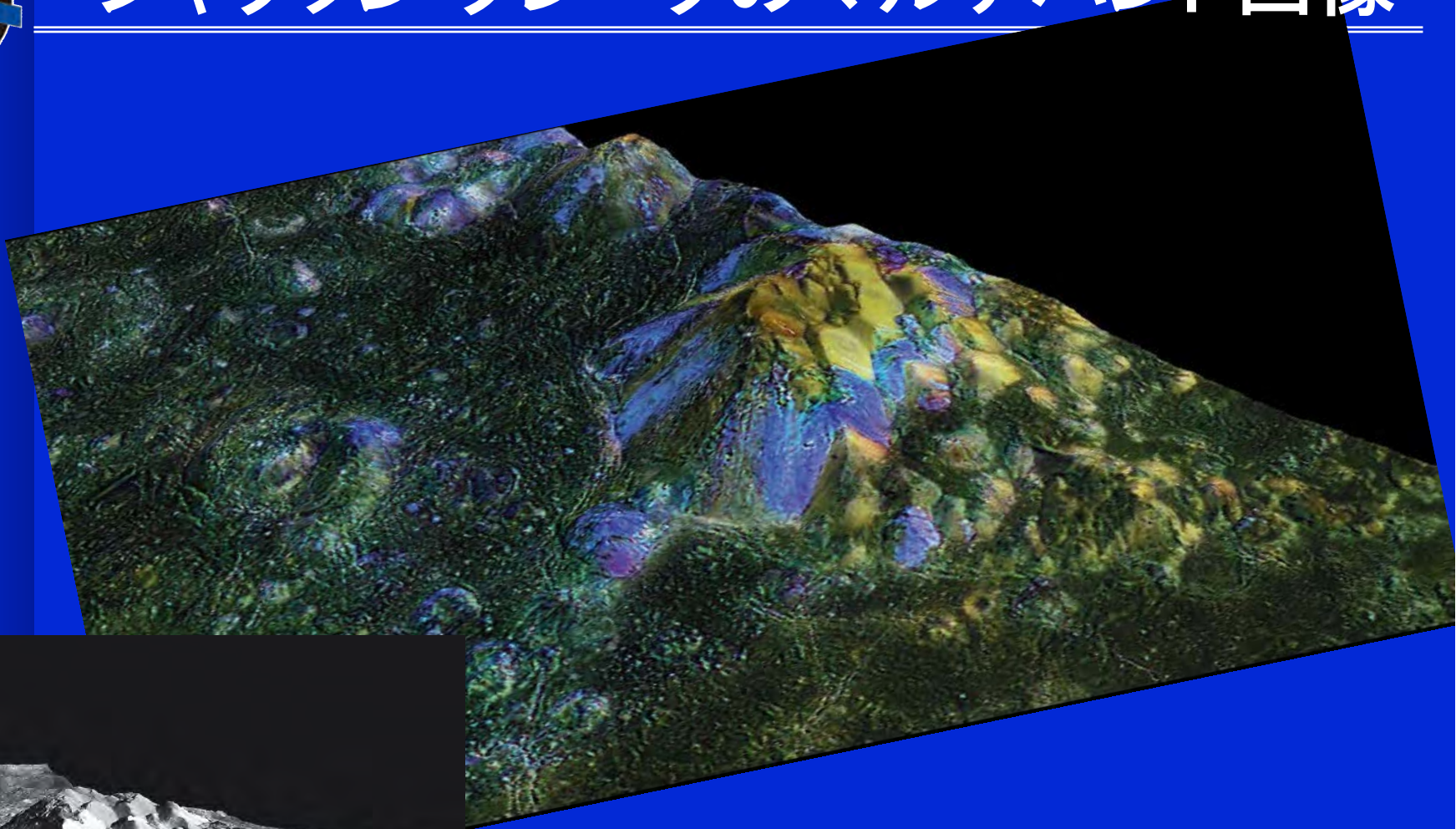


マルチバンドイメー
ジヤによる測定

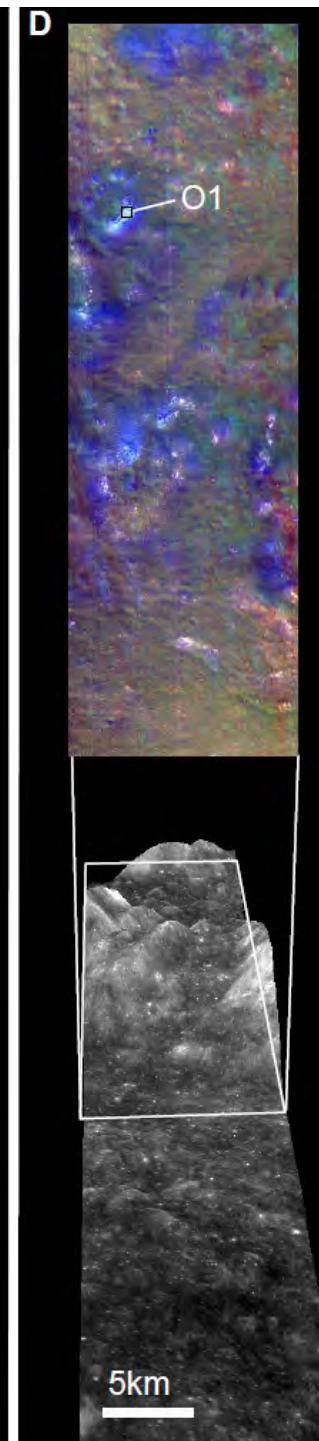
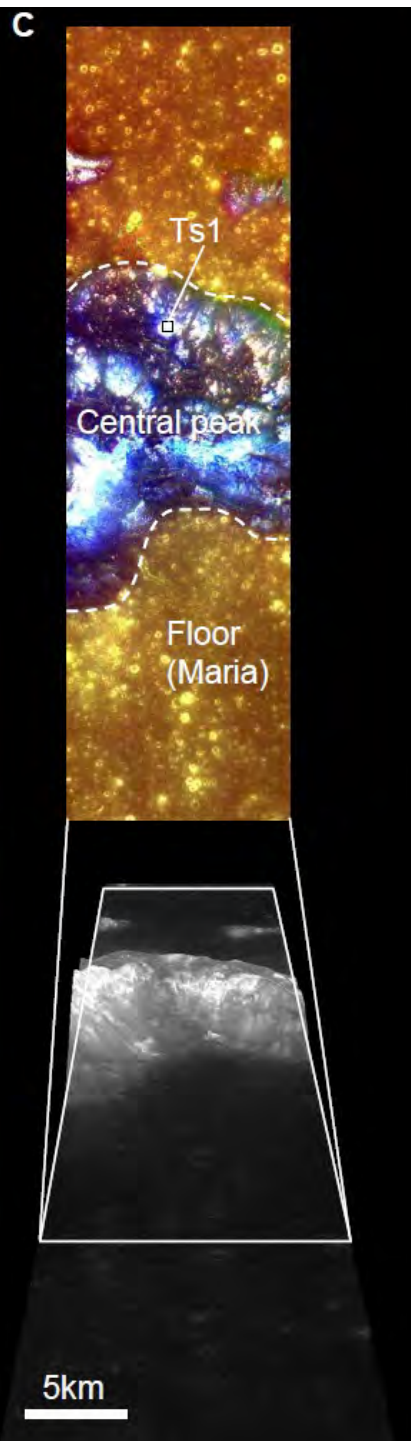
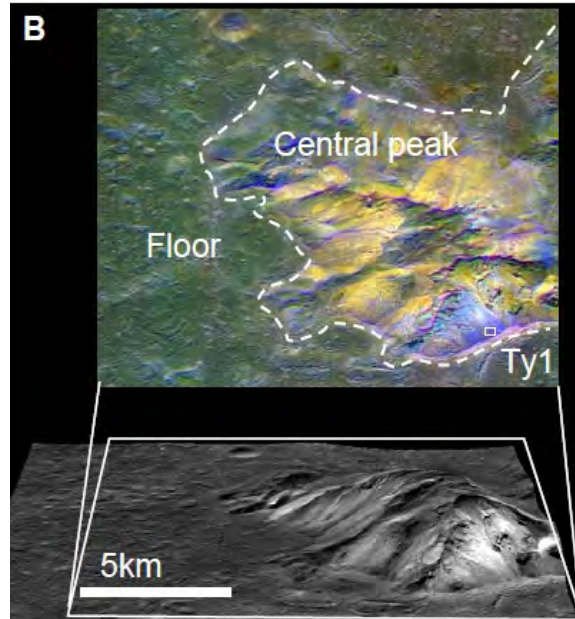
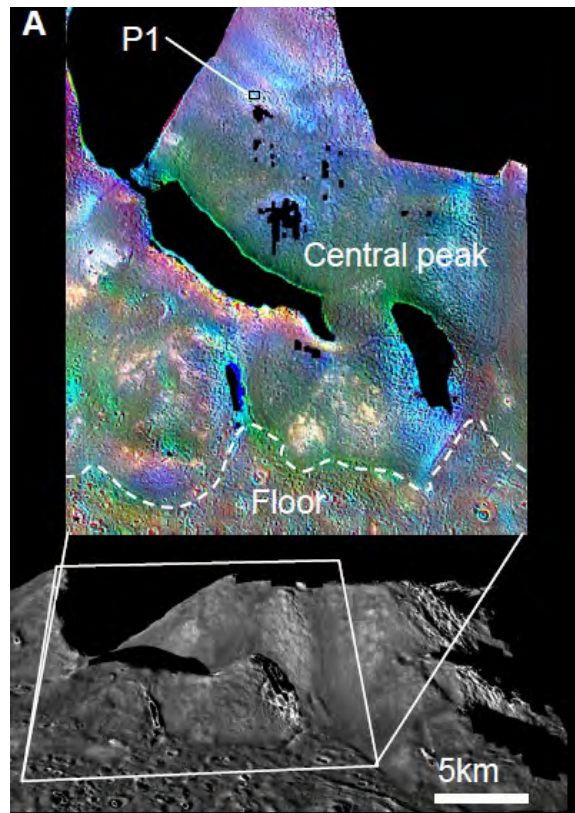


and ENgineering Explorer

ジャクソン クレータのマルチバンド画像



Color composite,
950nm:R, 1050nm:B,
1250nm:G



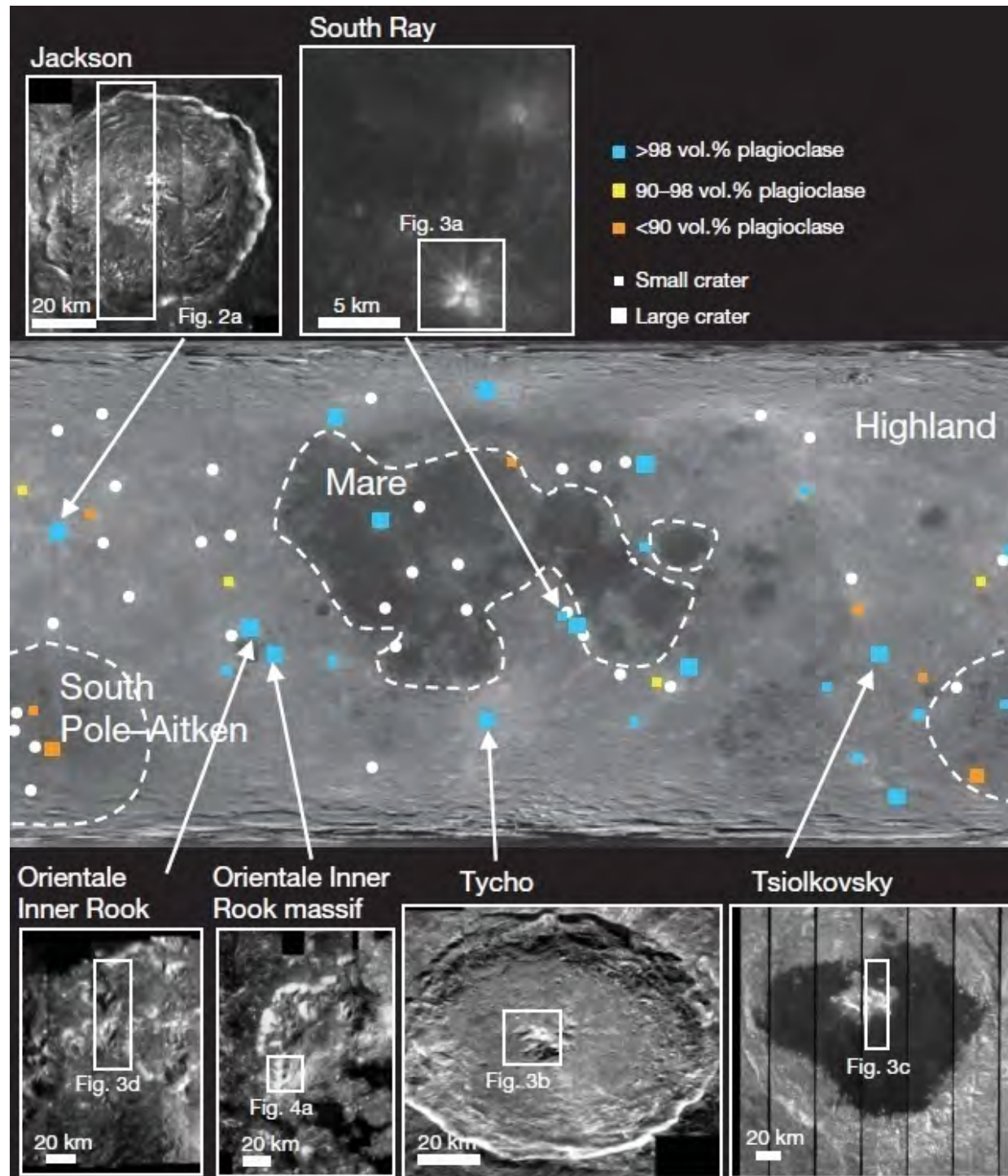
**A: ピタゴラスクレータの
カラーコンポジット**

**B: ティコクレータの
カラーコンポジット**

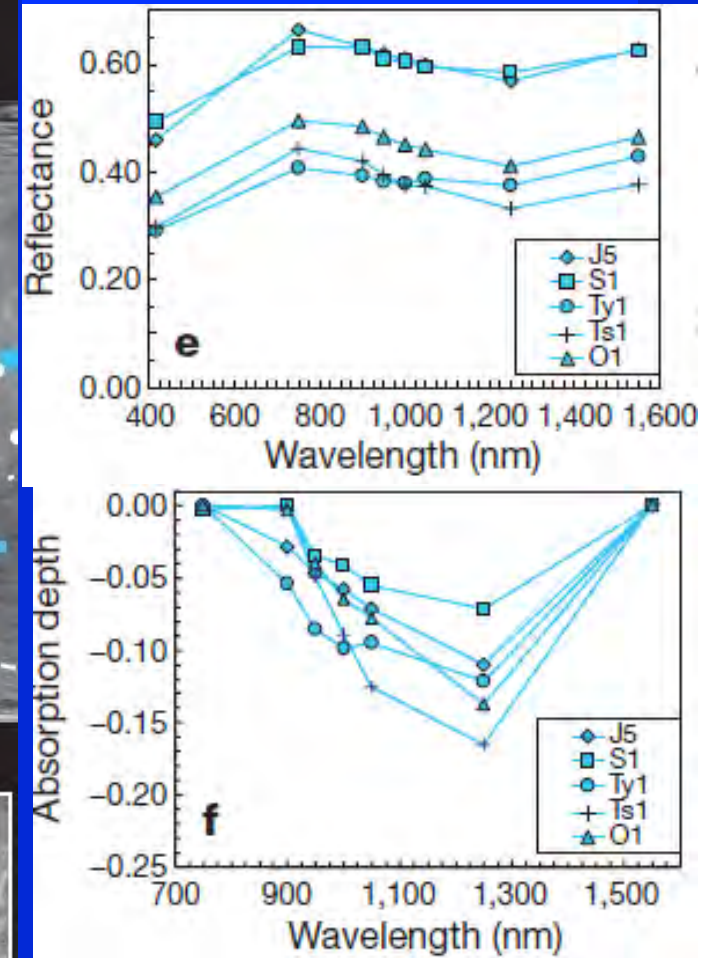
**C: ツォルコフスキークレータ
の
カラーコンポジット**

**D: オリエンタルクレータ
内リングの
カラーコンポジット**

Otake et al., 2008

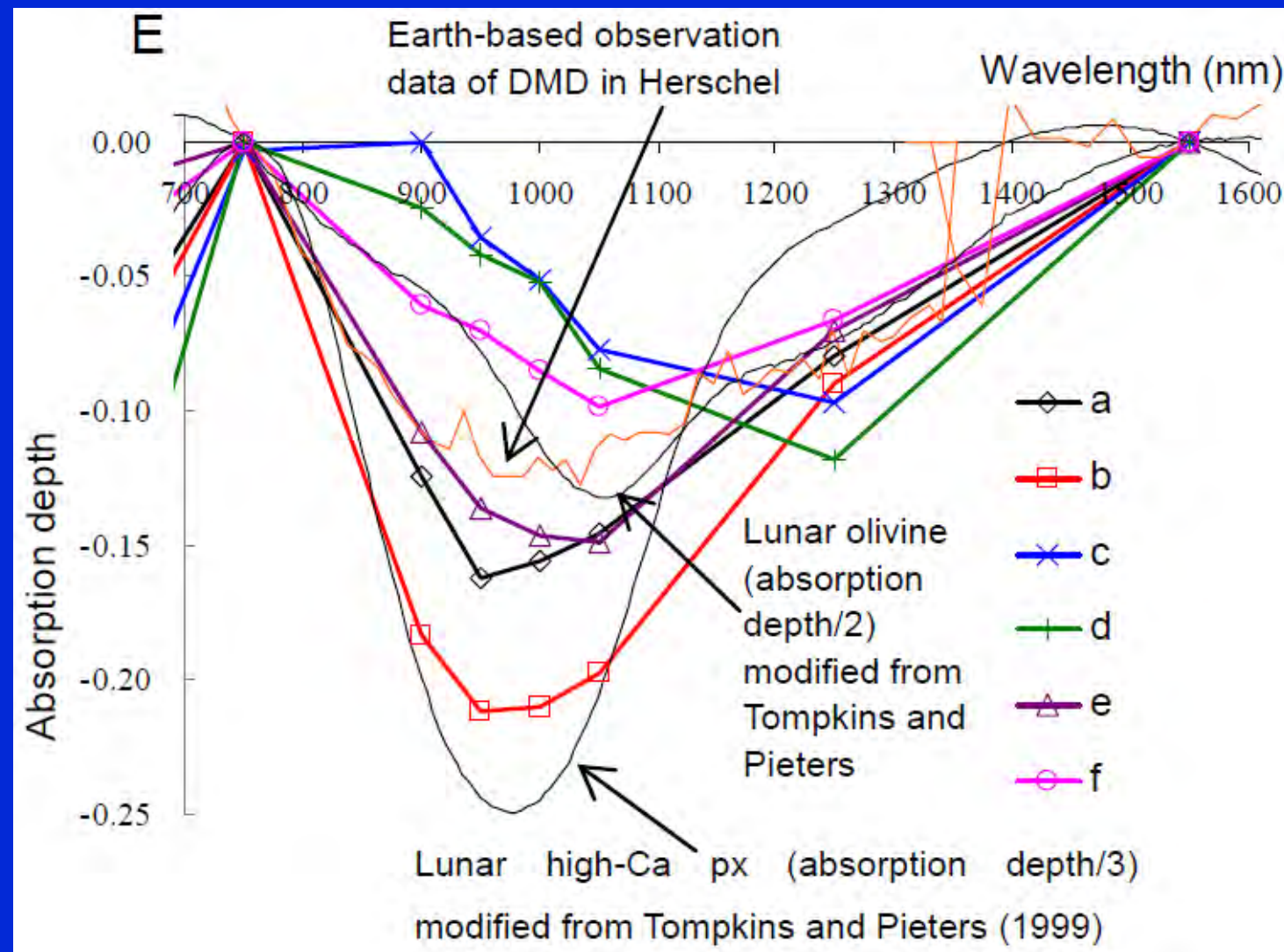


Global distribution of rocks of high plagioclase abundance





マルチバンドイメージヤによる観測3.



E. B図中a-f点におけるマルチバンドスペクトル



South Pole-Aitken Lithology 2.

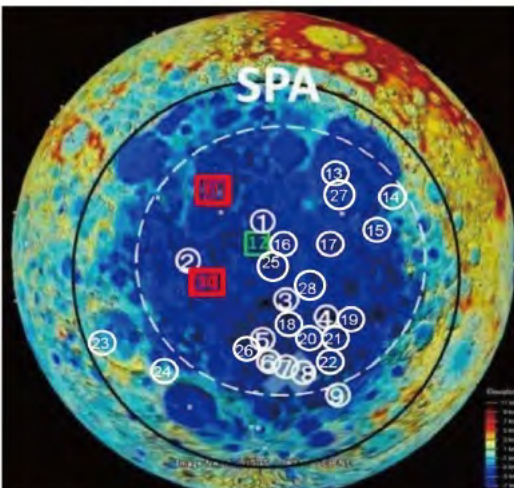
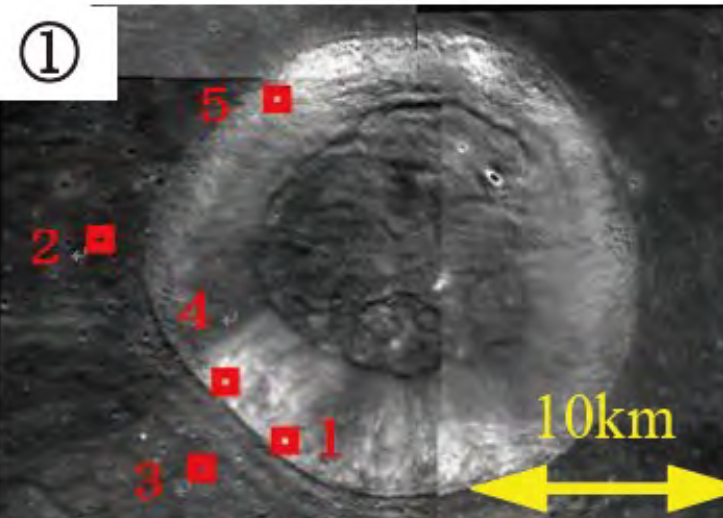
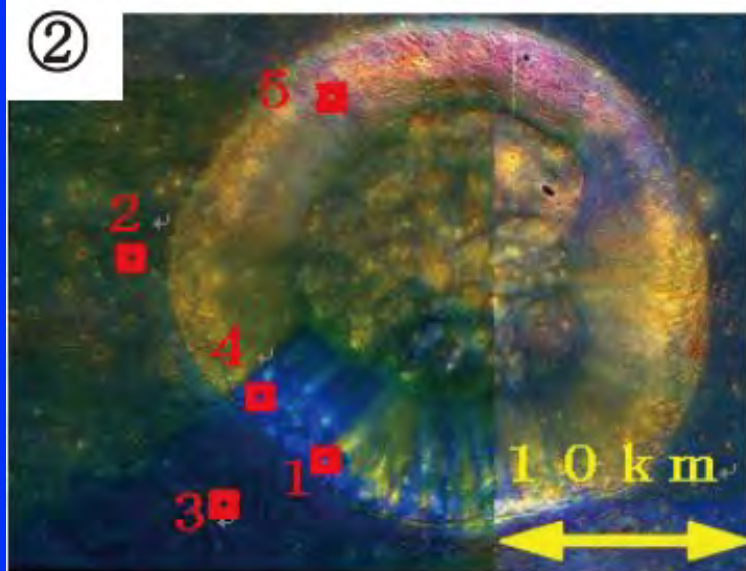


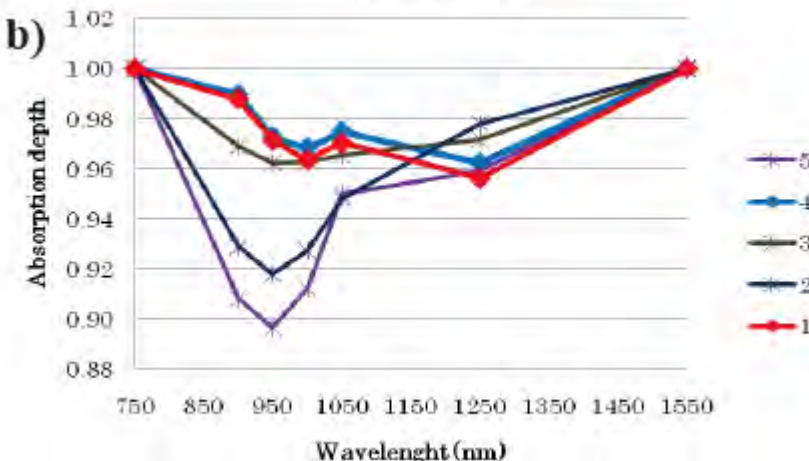
Figure 1. Distribution of the craters we analyzed in this study.



MI color composite of Poincare NE

CraterName	latitude	longitude	diameter(km)	PurestAnorthosit
1 AlderN	42S	181W	15	No
2 Hopmann	51S	180E	88	No
3 Bellingshausen	61S	164W	20	No
4 LemaireW	62S	155W	8	No
5 MinnaertNE	64S	175W	20	No
6 Antoniadi	70S	168W	143	No
7 NumerovE	70S	154W	40	No
8 NumerovC	70S	163W	113	No
9 ZeemanN	70S	137W	30	No
10 PoincareNE	53S	161E	20	Yes
11 (Leipnitz)	47S	178W	77	Yes
12 (Alder)	38S	181W	245	(Yes)*
13 ApolloWa	35S	157W	334	No
14 BuffonSW	41S	134W	3	No
15 RideW	48S	142W	42	No
16 AlderS	49S	177W	75	No
17 CoriE	50S	150W	56	No
18 Cabannes	61S	170W	73	No
19 FizeauW	58S	137W	96	No
20 Lemaire	61S	149W	86	No
21 EijkmanE	62S	137W	50	No
22 Crommelin	68S	147W	88	No
23 VallisPlanckW	58S	122E	43	No
24 Schrodinger	66S	128E	35	No
25 AlderSrim	50S	177W	75	No
26 AntoniadiWrim	68S	177W	143	No
27 ApolloWb	36S	155W	7	No
28 BoseW	54S	170W	4	No

Table.1 The list of the craters we analyzed



Uemoto et
al., 2010



スペクトルプラファイラーの特徴

SP

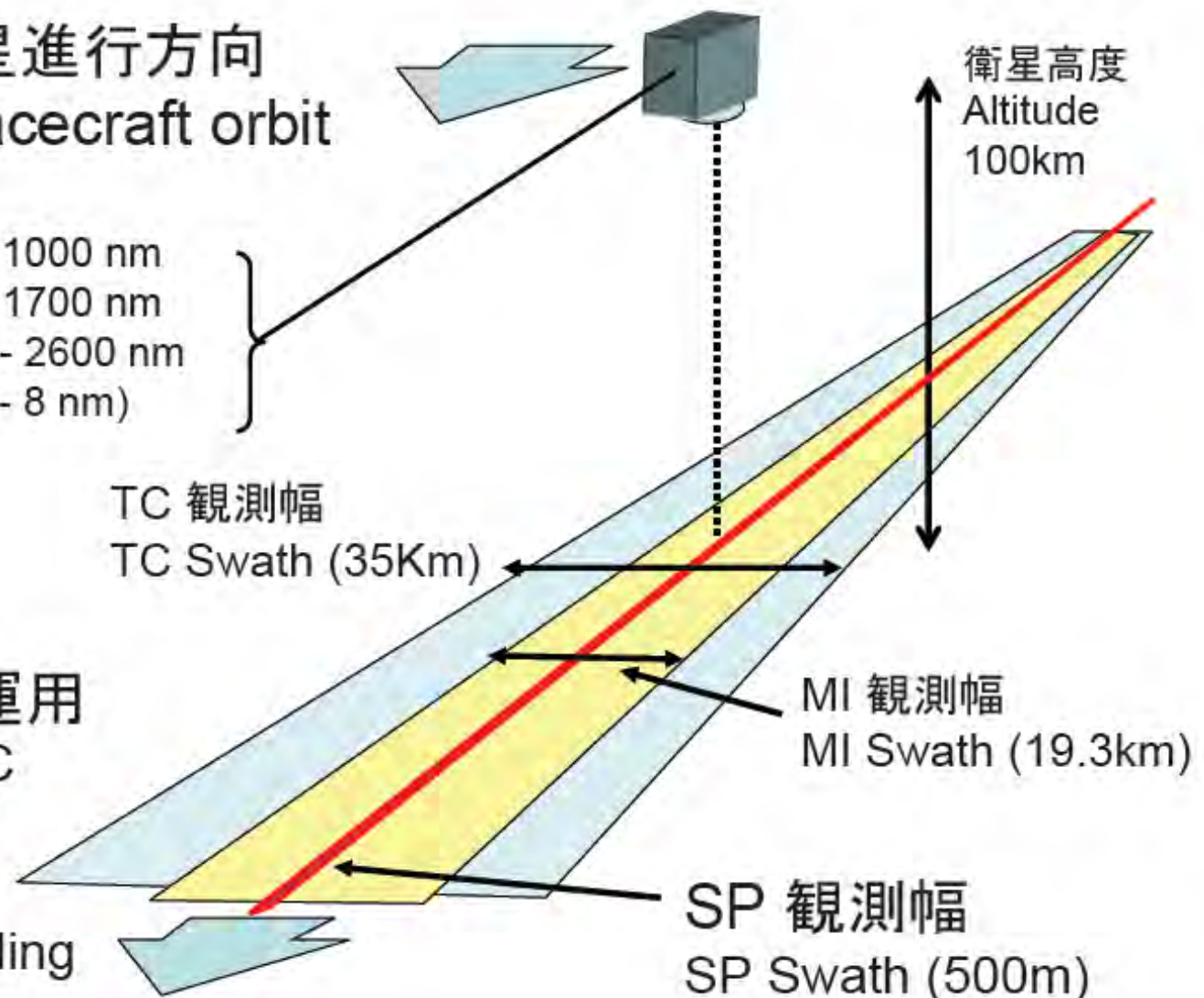
衛星進行方向
Spacecraft orbit

SP VIS(可視光) : 500 - 1000 nm
SP NIR1(近赤外) : 900 - 1700 nm
SP NIR2(近赤外) : 1700 - 2600 nm
(波長分解能 Resolution 6 - 8 nm)

回折格子による連続分光

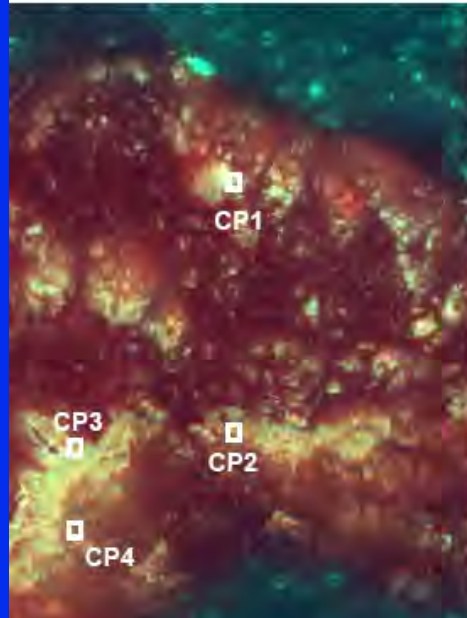
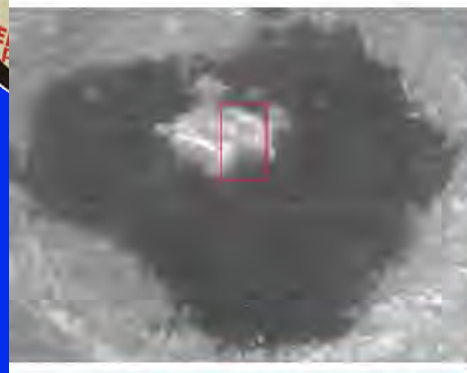
MIやTCとの同時運用
Operation with MI/TC

測線観測 Line profiling

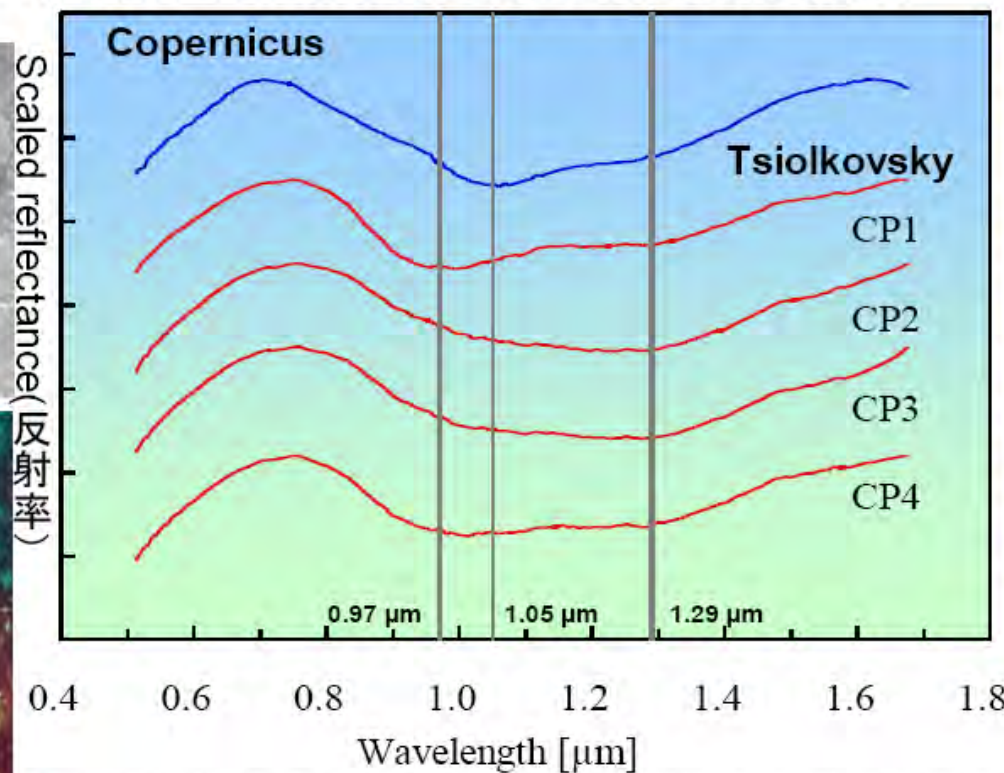




月裏側のTsiolkovsky中央丘の岩相の解明



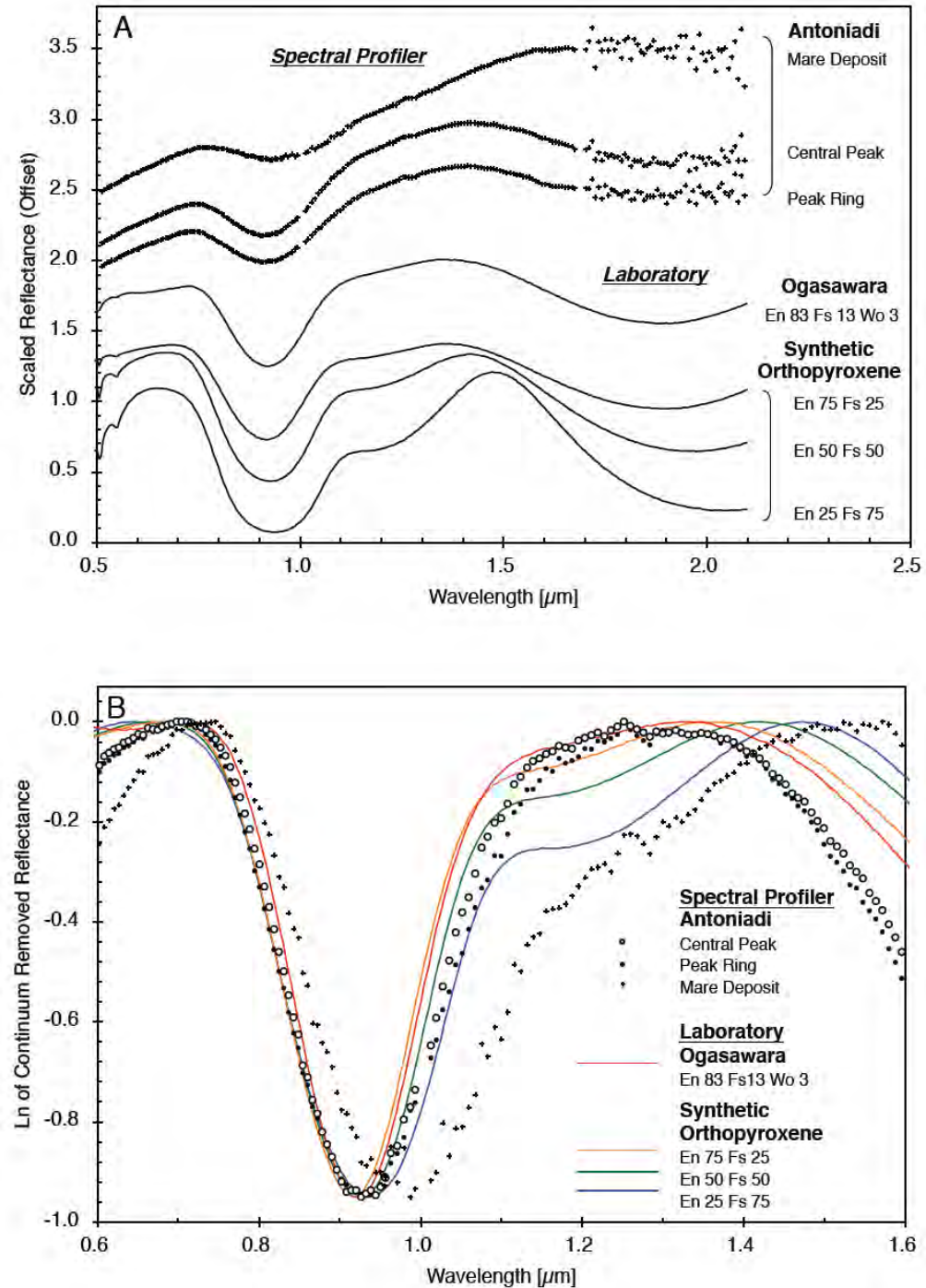
MI-Vカラー合成画像(赤=0.75 μm、緑=0.75 / 1.0 μm、青=0.75 / 0.95 μm)。
白四角はSPの観測点CP1～CP4。
画像の縦方向の長さは約30km。



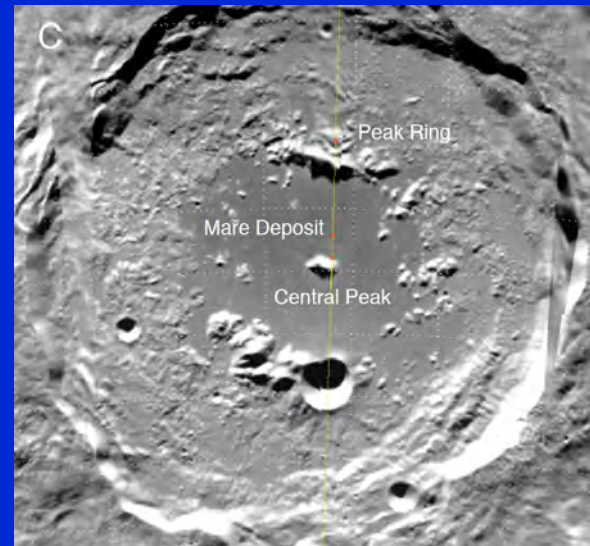
図の説明:
横軸: 波長
(単位: μm)
縦軸: 宇宙風化の影響を軽減するため、接線除去処理を適用した後の月面反射率
(目盛りは、0.1刻み)。
※見やすくするため、5つのグラフはオフセットを与え、上下にずらした。
データ:
SPの観測データ
青: Copernicusクレータの中央丘。
かんらん石を含む典型的な中央丘。
赤: Tsiolkovskyクレータの中央丘。MI画像中で黄色の部分(4箇所)。

SPの観測結果:

- Copernicus: 1.05 μmに極小値を持つ典型的なかんらん石のスペクトルが見られた。
- Tsiolkovsky: 反射率が、 $0.9 \mu\text{m} > 0.95 \mu\text{m} > 1 \mu\text{m}$ (右下がり) となってはいるが、1 μmより長波長側において、かんらん石の特徴である1.05 μmに極小値を持つものではなく、0.97 μmと1.29 μmに極小値が見られた。前者は輝石、後者は斜長石の吸収の中心波長に相当する。従ってこの地域には、かんらん石ではなく、斜長石と輝石の混合物が分布していると考えられる。
- これまでの研究で「かんらん石が露出している」とされたクレータにおいても、SPによる再調査が必要と考えられる。



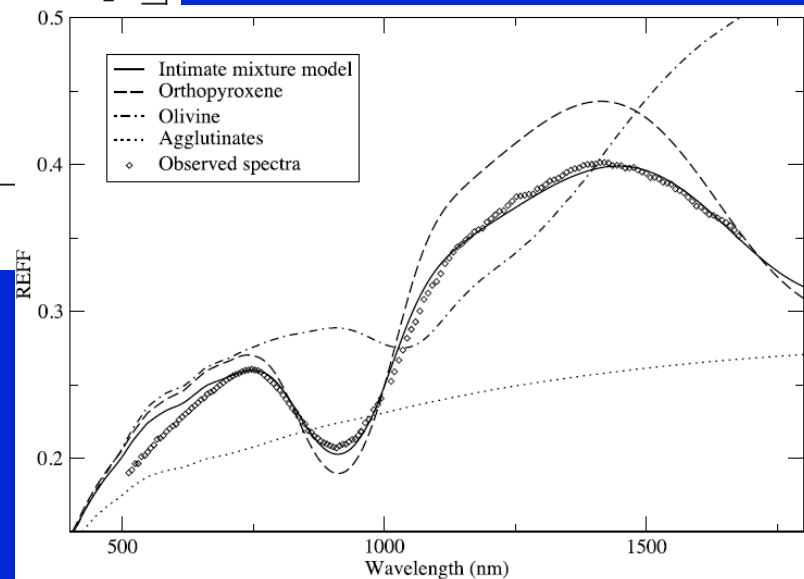
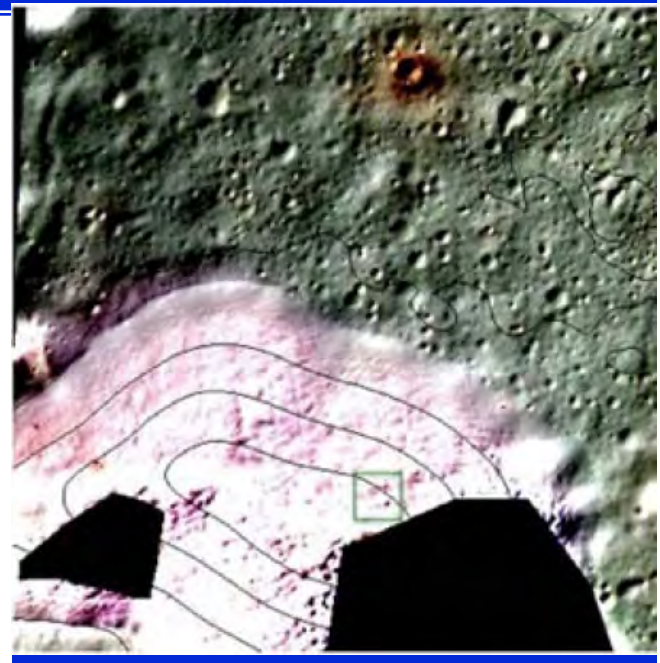
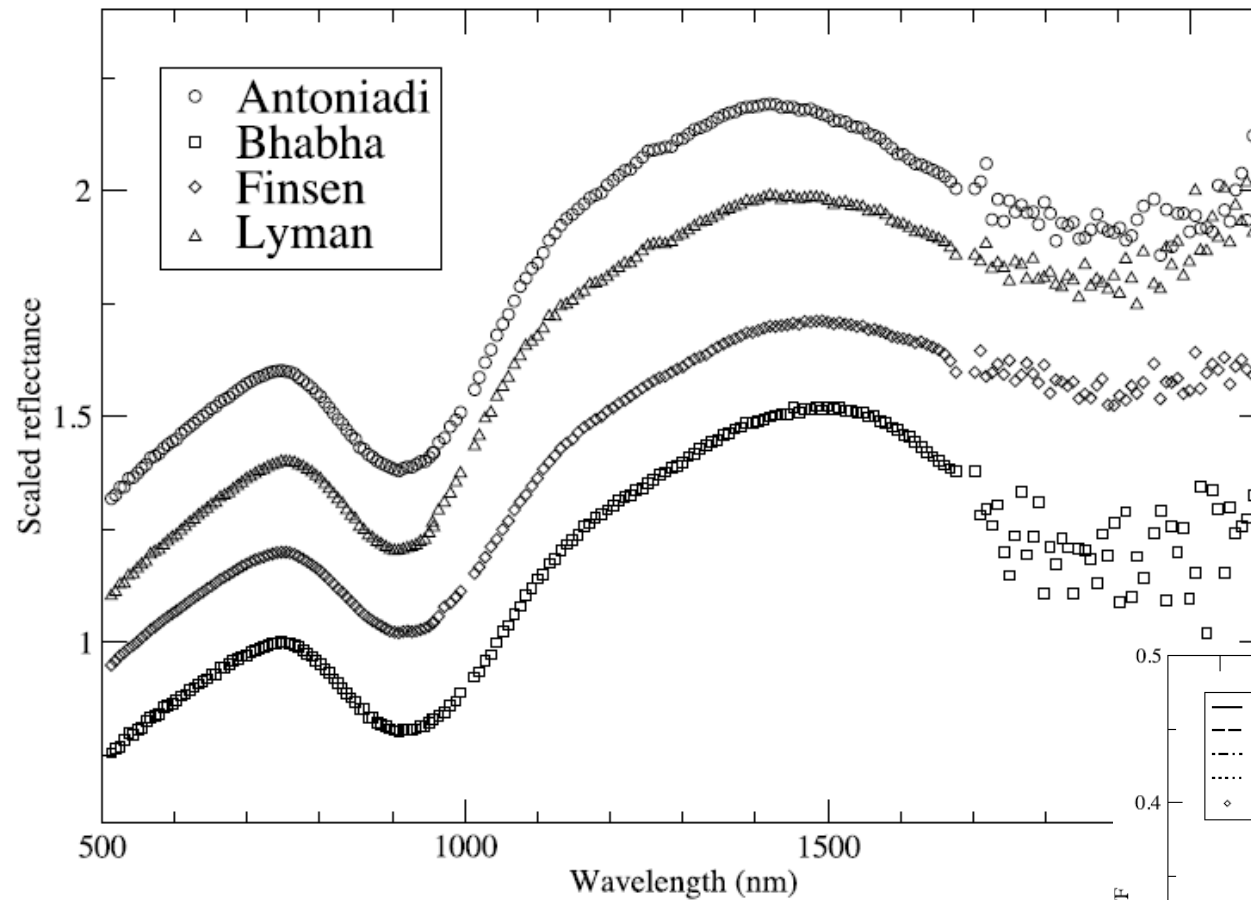
Spectral Profiler SP Observation of Antoniadi Crater



Matsunaga et al., 2008



South Pole-Aitken lithology 1.



SELeno

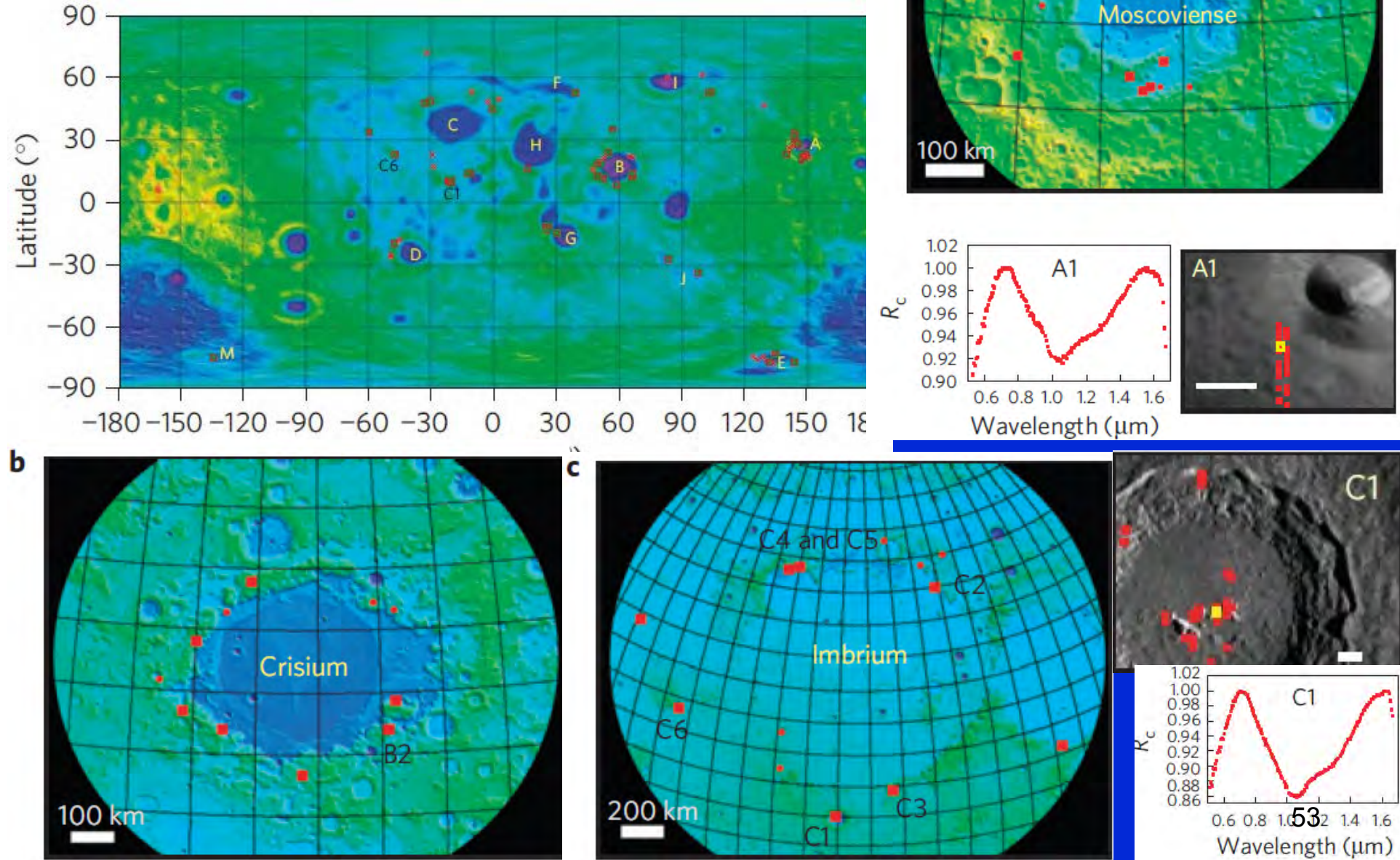
Nakamura et al., *GRL* 36(2009), L22202

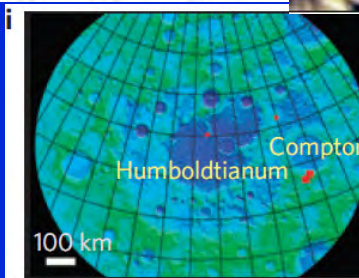
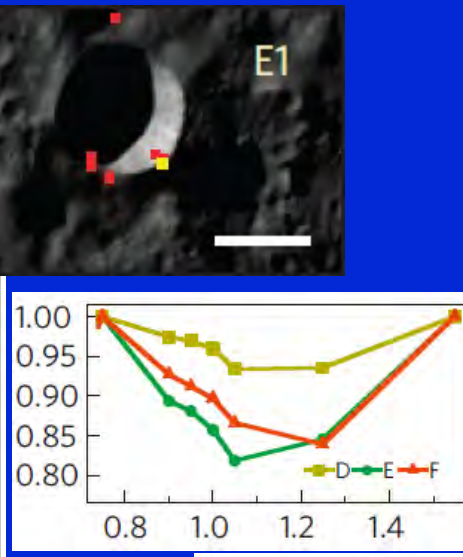
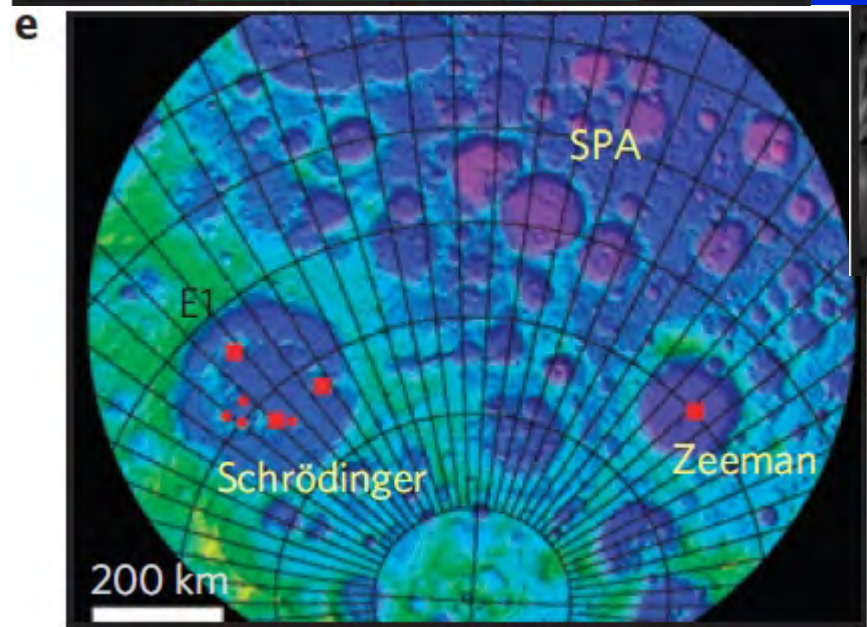
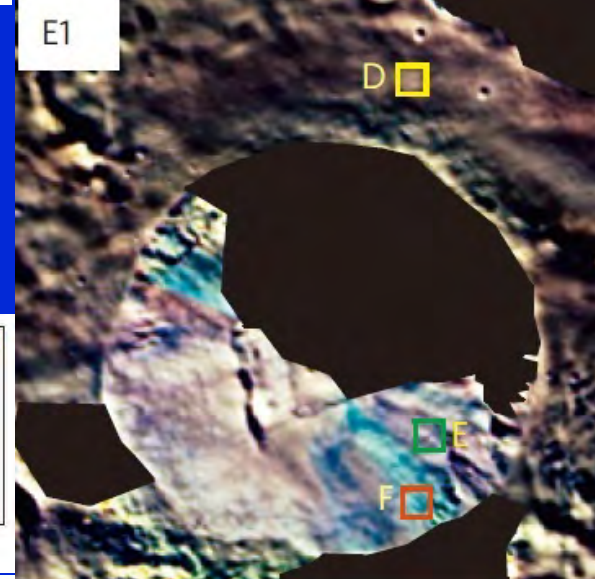
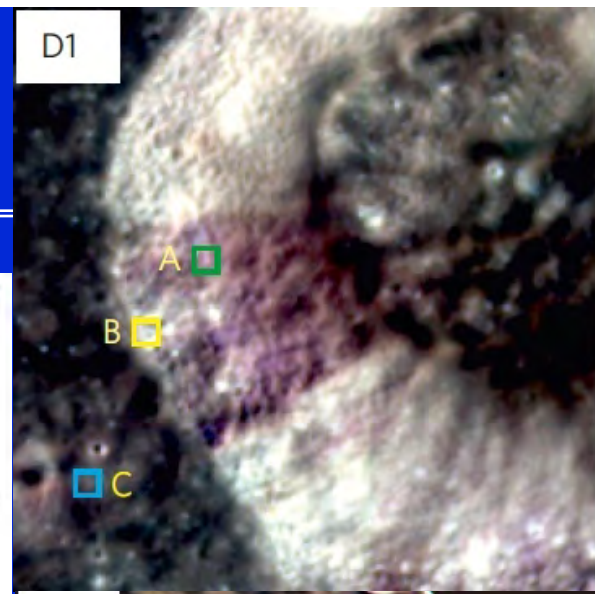
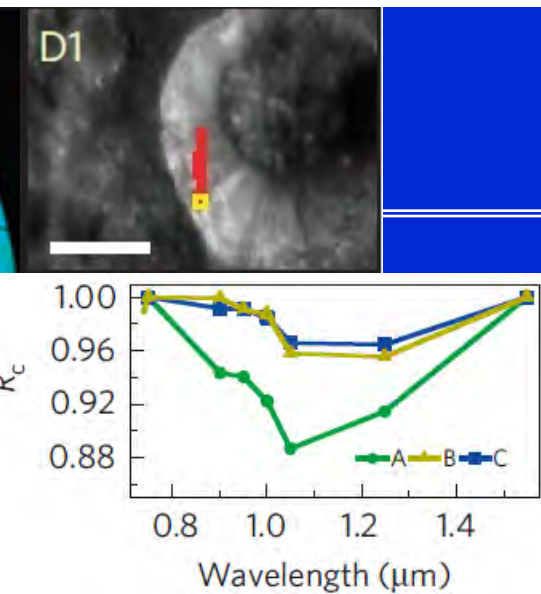
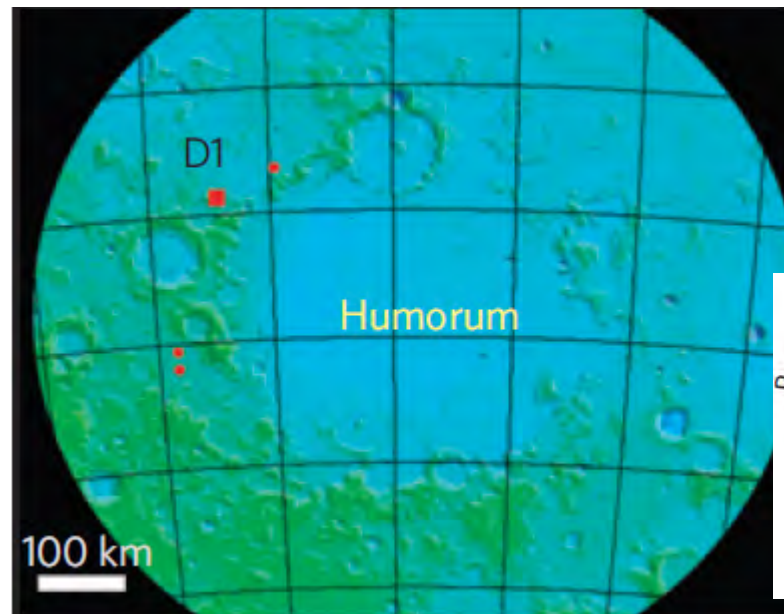
c.p. of Antoniadi crater:
74.1wt%Opx+ 11.1%Ol+14.8%Aggl.

Possible mantle origin of olivine around lunar impact basins detected by SELENE

Nature Geosci. 3 (2010)

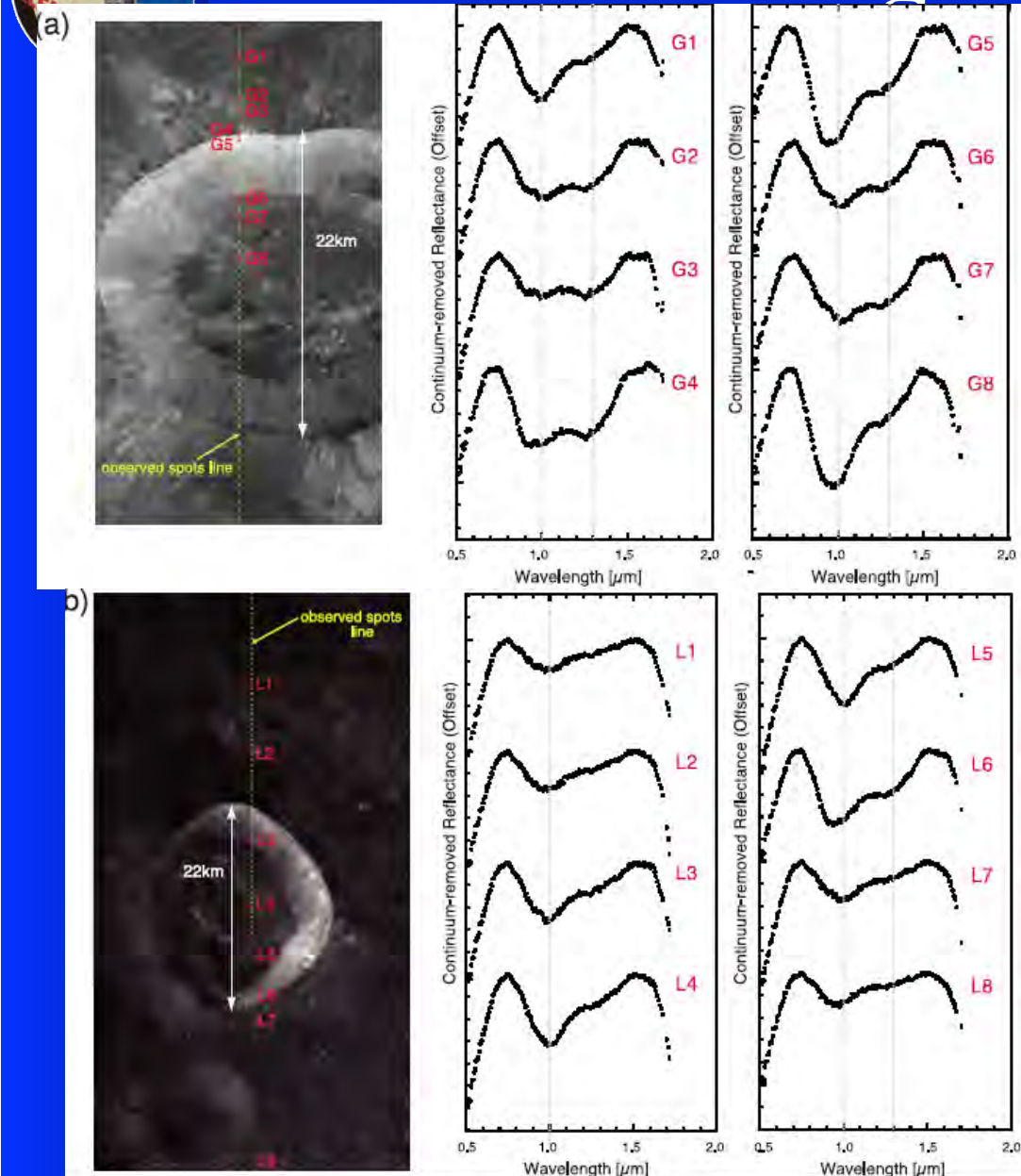
Satoru Yamamoto^{1*}, Ryosuke Nakamura², Tsuneo Matsunaga¹, Yoshiko Ogawa³, Yoshiaki Ishihara⁴, Tomokatsu Morota⁵, Naru Hirata³, Makiko Otake⁵, Takahiro Hiroi⁶, Yasuhiro Yokota¹ and Junichi Haruyama⁵







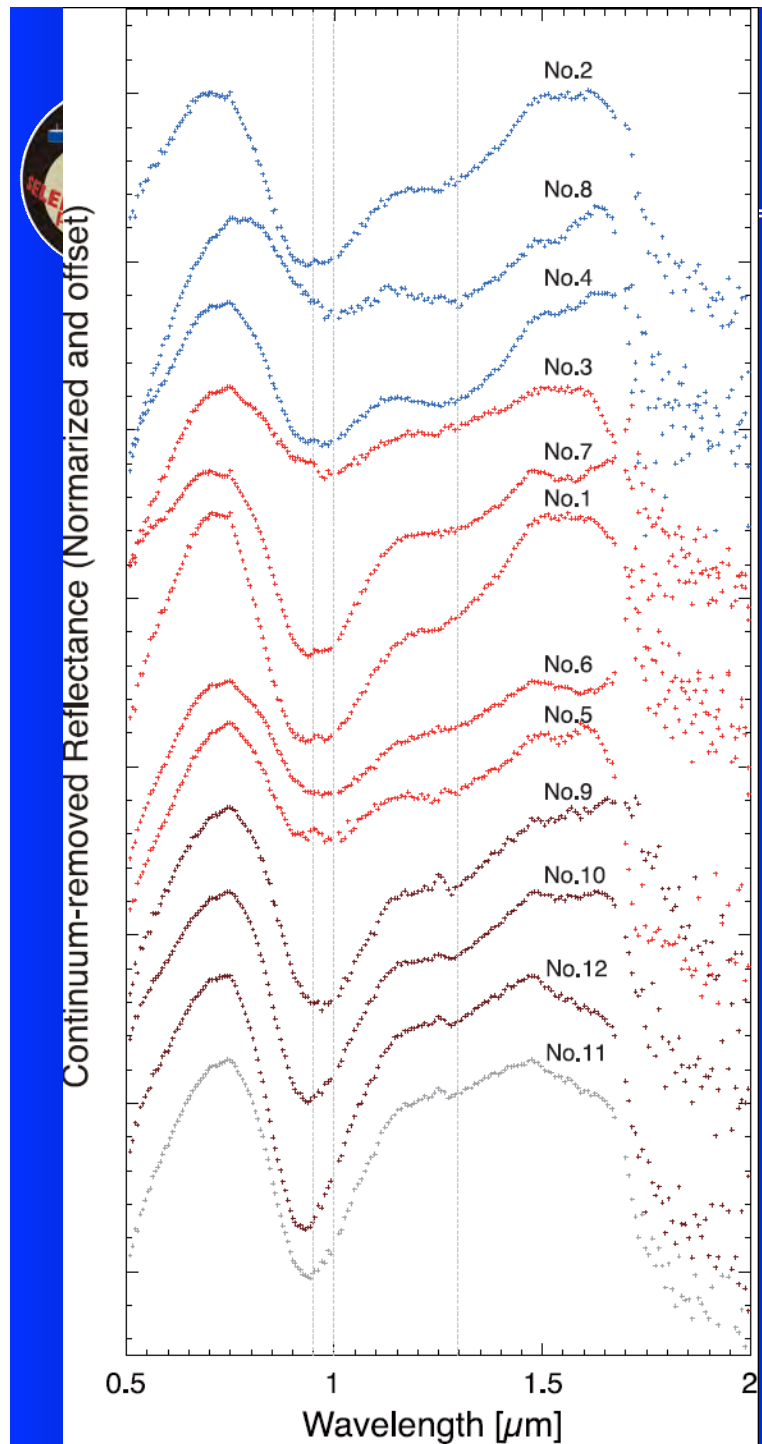
Mineralogy of fresh rayed craters in highlands



HCP - LCP

Giordano Bruno
22 km dia.
35.9N/102.8E

Larmor Q
22 km dia.
28.6N/ 176.2E



HCP dominant craters

Blue plots: Type A

Red plots: Type B

Grey plots: Type B, Ejecta Blankets

